NEW

NUEVOS PRODUCTOS PARA EL MECANIZADO

Fresado eficiente sí, pero sostenible, por favor

Mayor rendimiento con la nueva S-Cut
de CERATIZIT fabricada con un 99% de materias primas recicladas

CERATIZIT es un grupo de ingeniería de alta tecnología. Somos especialistas en herramientas de corte y soluciones en materiales duros.

Tooling a Sustainable Future

ceratizit.com

CERATIZIT GROUP

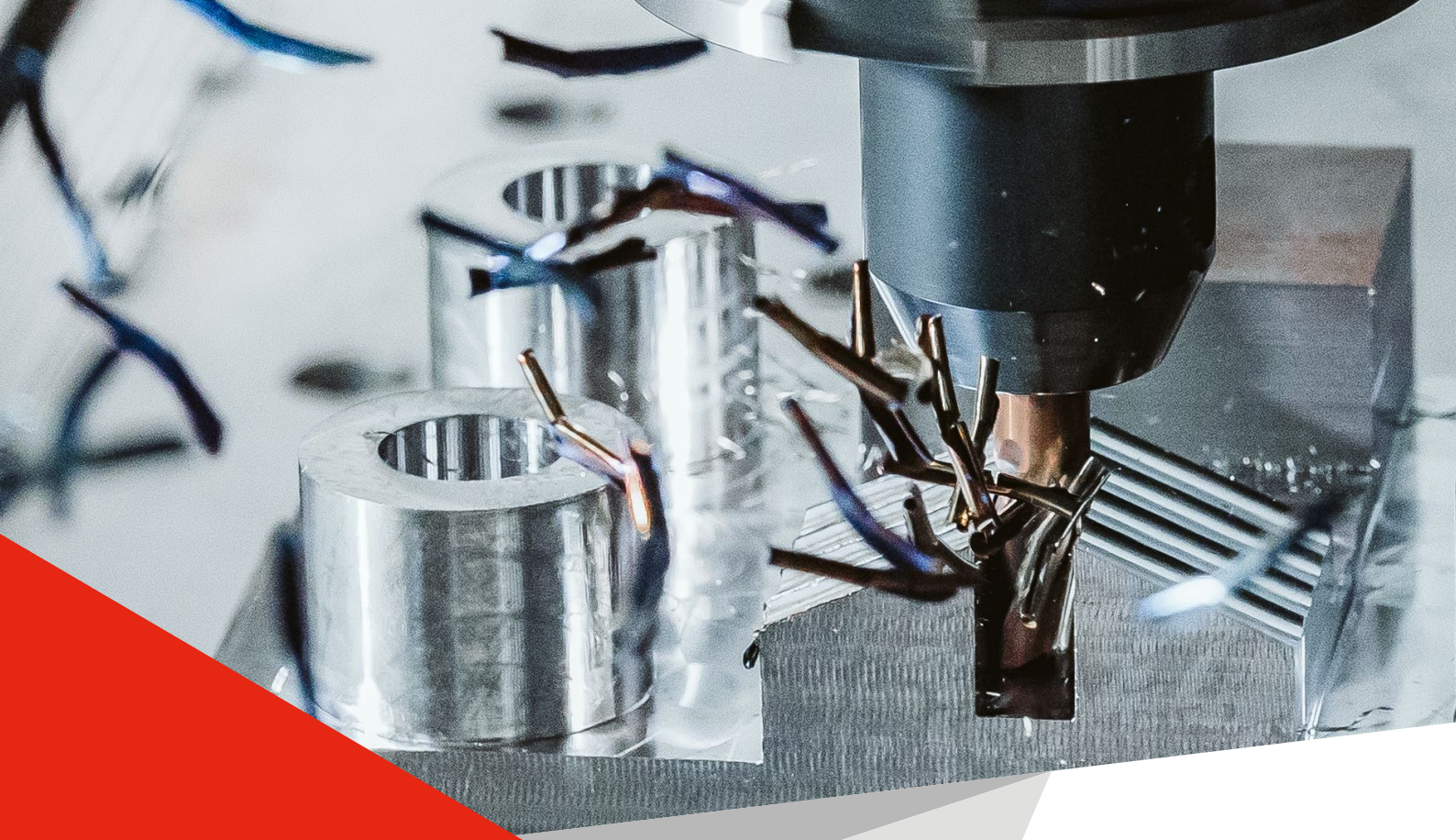

Aumente la productividad con las nuevas fresas y reduzca significativamente la huella de CO_2

¿Le parece imposible una fresa producida de forma sostenible, de aplicación universal y extremadamente potente? Con las fresas S-Cut UNI y UNImax de CERATIZIT, ahora existe una serie de herramientas que cumple fácilmente todos los requisitos gracias a las últimas tecnologías de geometría y recubrimiento y a la calidad de metal duro sostenible CT-GS20Y.

▲ **Universal**	→	Adecuada para una gran variedad de materiales
▲ **Sostenible**	→	Fabricada con un 99 % de metal duro reciclado con certificación CO_2 de Huella de carbono (PCF)
▲ **Eficaz**	→	Nueva tecnología de recubrimiento y optimización de la geometría para un máximo rendimiento de la herramienta con Performance-Plus
▲ **Eficiente**	→	Adecuada para diferentes procesos de mecanizado

→ a partir de la página 8
Puede encontrar más información sobre el producto aquí.

Calidad de metal duro sostenible fabricado con 99 % de materias primas recicladas

La nueva calidad mejorada CT-GS20Y es un metal duro de grano fino con un 10% de aglutinante y un tamaño de grano de carburo de tungsteno de 0,5 a 0,8 µm. Esta calidad es la preferida para herramientas de taladrado y fresado con metal duro y, por lo tanto, es la elección óptima para una amplia gama de aplicaciones.
¿Y qué tiene de especial la CT-GS20Y? Utilizamos un 99 % de materias primas secundarias procedentes de herramientas de corte de metal duro recicladas. La producción de este material innovador tiene una huella de CO_2 significativamente menor que la de los metales duros de producción convencional. Además, manejamos concienzudamente el uso de energía, la eficiencia de recursos y la logística optimizada al producir CT-GS20Y.

upGRADE-Metal duro: Ventajas / Beneficios

- ▲ Reduzca su propia huella de CO_2
- ▲ Excelente rendimiento del producto
- ▲ Mayor seguridad de suministro

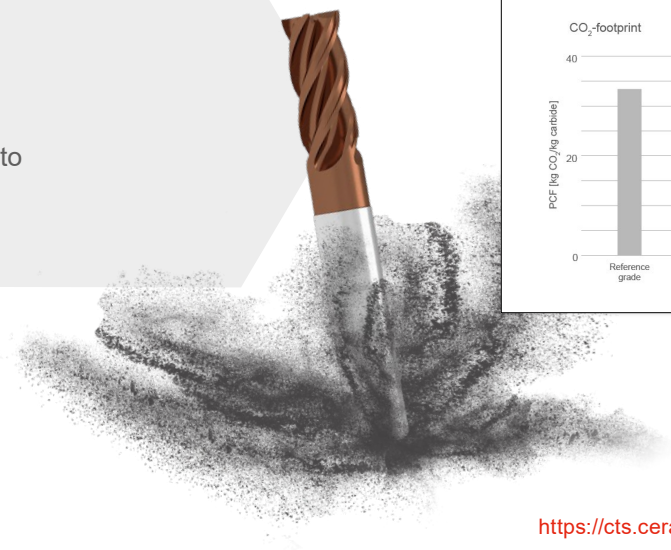

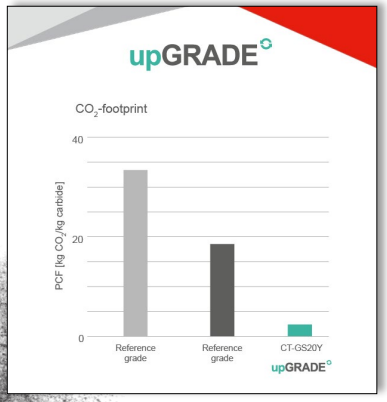

https://cts.ceratizit.com/es/gs20y

La huella de carbono de los productos (PCF) como índice de sostenibilidad

Nuestro objetivo es establecer una norma común para calcular y clasificar la huella de CO_2 de las herramientas de corte del mercado. Clasificación de la huella de carbono de los productos (PCF).
Esto nos permite ofrecer a nuestros clientes la transparencia deseada con respecto a la huella de CO_2.

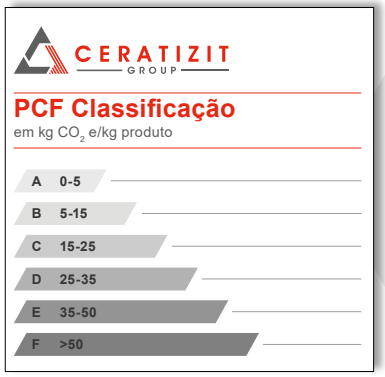

Clasificación PCF: Ventajas / Beneficios

- ▲ Más transparencia en la huella de CO_2
- ▲ Visible de un vistazo con clasificación
- ▲ Opción de un certificado PCF adicional para calcular su propia huella de CO_2

https://cts.ceratizit.com/es/pcf

Amplia cartera de productos para múltiples aplicaciones en diferentes materiales

Mecanizar una amplia variedad de materiales implica adaptarse constantemente a nuevos retos. La solución son fresas de aplicación universal que puedan trabajar por igual con acero, acero inoxidable o hierros fundidos. Además de la deseada eficiencia de los procesos, también pasa a primer plano el aspecto de la sostenibilidad. Ambas están armonizadas por la gama de fresas de metal duro S-Cut de upGRADE by CERATIZIT con metales duros especialmente sostenibles.

La S-Cut de un vistazo:

- ▲ Metal duro CT-GS20Y con la huella de carbono demostrablemente más baja de su clase (incl. certificado PCF)
- ▲ Paso variable para un funcionamiento extremadamente suave y una evacuación óptima de viruta
- ▲ Mango HB para un amarre óptimo (Mango HA/HB en fresas S-Cut UNImax)
- ▲ Geometría de corte especial para la S-Cut UNImax, Diseñada para el mecanizado de alto volumen de arranque de viruta
- ▲ Núcleo de herramienta reforzado para una distribución uniforme de las fuerzas.
- ▲ Rectificado de incidencia radial para una máxima estabilidad del filo de corte
- ▲ Chaflán de acabado frontal para obtener la mejor calidad superficial
- ▲ Los filos de corte desigualmente divididos suprimen específicamente las vibraciones
- ▲ Código Data Matrix (DMC) grabado con láser para un seguimiento claro de la herramienta

https://cts.ceratizit.com/es/s-cut

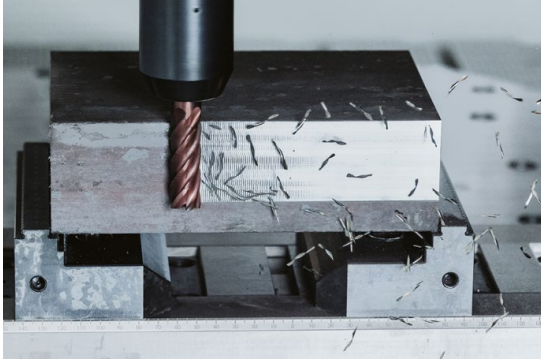

Fresado de contornos

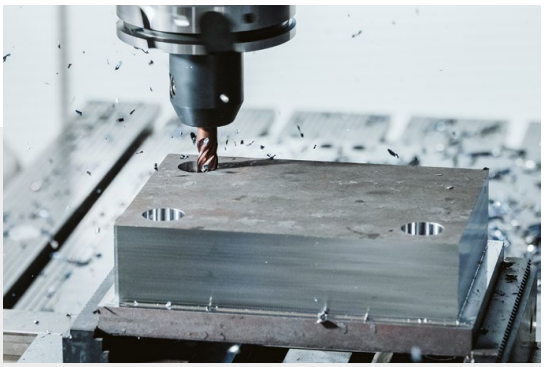

Fresado helicoidal

Fresado de planeado

Fresado trocoidal

Fresado de rampas

Fresado de ranuras

Prueba

Vida útil en ranurado (150 mm = 1 ranura completa) 1.2379

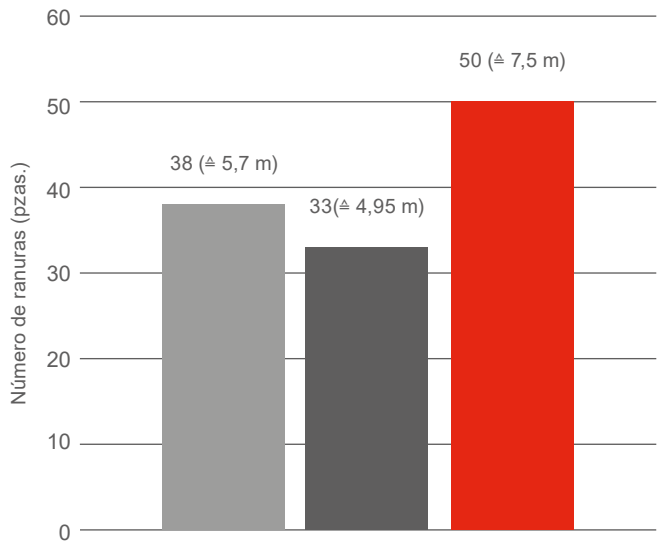

+ 30 %

Datos técnicos

v_c	120 m/min
f_z	0,04 mm/Z
a_p	15 mm
a_e	10 mm
Fresado	Ranura completa 1,5xD
Refrigeración	Aire externo

Herramienta de referencia comparable 1

Herramienta de referencia comparable 2

S-Cut UNI

En comparación con otras herramientas universales, las fresas S-Cut alcanzan hasta un **30 % más de rendimiento**.
A ello contribuye también el recubrimiento de nuevo desarrollo, que proporciona un rendimiento adicional y aumento de la vida útil.

Cadena de valor completa en el código DMC

Información, seguimiento y búsqueda de herramientas

Todas las herramientas de la serie están equipadas con un código Data Matrix (DMC) grabado con láser, con el que se pueden consultar los datos del «gemelo digital». "Este DMC realmente lo tiene todo: Si se escanea, la herramienta puede identificarse correctamente y se muestran sus datos técnicos pertinentes. El cliente también puede ver si la herramienta es nueva o reacondicionada y cuántas veces ha estado ya en nuestras instalaciones para ser reafilada. Por supuesto, no debe faltar el enlace a la tienda online para realizar pedidos fácilmente."

ToolCycle

El código de matriz de datos (DMC) grabado con láser proporciona abundante información sobre la herramienta.

Código DMC: Ventajas / Beneficios

- ▲ Identificación clara de la herramienta
- ▲ Trazabilidad del ciclo de vida de la herramienta
- ▲ Enlace directo al producto en la tienda online
- ▲ Información básica como datos de corte dimensiones y recomendaciones de uso
- ▲ Ciclos de reafilado
- ▲ Estado de la herramienta

Escanee el código QR y descargue e instale la aplicación:

Download on the App Store

GET IT ON Google Play

La función CERAsmart ToolCycle está disponible en nuestra aplicación CERATIZIT. La aplicación CERATIZIT puede descargarse gratuitamente en Apple Store o Google Play Store.

Herramientas serializadas

Escanee el código DMC con nuestra aplicación CERATIZIT

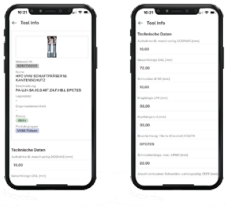

Vista de la aplicación

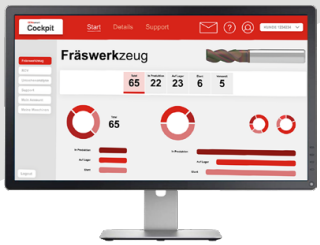

Vista de pantalla a través de

Cockpit

S-Cut – Fresa frontal

La fresa sostenible de alto rendimiento para el mecanizado universal

UNI | λ_s var. | λ_s=40° γ_s=10° | HPC

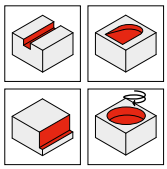

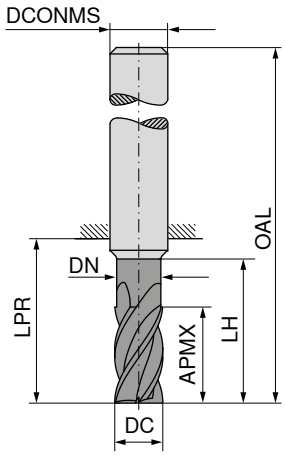

NEW

DPC72S

upGRADE

DRAGONSKIN

≈DIN 6527

52 515 ...

DC f8 mm	APMX mm	DN mm	LH mm	LPR mm	OAL mm	DCONMS h6 mm	ZEFP	EUR V0	
3	8	2,8	15,0	21	57	6	4	60,64	**03200**
4	11	3,8	16,5	21	57	6	4	60,64	**04200**
5	13	4,8	18,5	21	57	6	4	60,64	**05200**
6	13	5,5	21,0	21	57	6	4	60,64	**06200**
8	19	7,5	27,0	27	63	8	4	81,39	**08200**
10	22	9,5	32,0	32	72	10	4	115,46	**10200**
12	26	11,5	38,0	38	83	12	4	160,73	**12200**
16	36	15,5	44,0	44	92	16	4	260,26	**16200**
20	38	19,5	54,0	54	104	20	4	400,40	**20200**

P	●
M	●
K	●
N	○
S	○
H	
O	

→ v_c/f_z Página 14+15

S-Cut – Fresa frontal

La fresa sostenible de alto rendimiento para el mecanizado universal

UNI | λ_s var. | λ_s=40° γ_s=10° | HPC

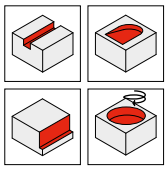

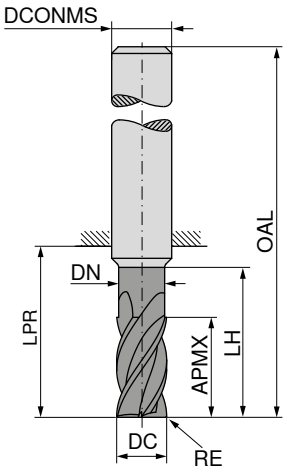

≈DIN 6527

DC f8	RE	APMX	DN	LH	LPR	OAL	DCONMS h6	ZEFP	52 516 ... EUR V0		52 517 ... EUR V0		52 518 ... EUR V0		52 519 ... EUR V0	
mm	mm	mm	mm	mm	mm	mm	mm									
3	0,10	6	2,8	12,0	18	54	6	4	50,10	03100						
3	0,10	8	2,8	15,0	21	57	6	4			60,64	03200				
4	0,13	8	3,8	13,5	18	54	6	4	50,10	04100						
4	0,13	11	3,8	16,5	21	57	6	4			60,64	04200				
5	0,18	9	4,8	15,5	18	54	6	4	50,10	05100						
5	0,18	13	4,8	18,5	21	57	6	4			60,64	05200				
5	0,18	22	4,8	24,5	27	63	6	4					73,82	05300		
6	0,20	10	5,5	18,0	18	54	6	4	50,10	06100						
6	0,20	13	5,5	21,0	21	57	6	4			60,64	06200				
6	0,20	13	5,5	42,0	44	80	6	4							92,75	06400
6	0,20	22	5,5	27,0	27	63	6	4					73,82	06300		
8	0,20	12	7,5	22,0	22	58	8	4	68,03	08100						
8	0,20	19	7,5	27,0	27	63	8	4			81,39	08200				
8	0,20	21	7,5	62,0	64	100	8	4							109,73	08400
8	0,20	28	7,5	36,0	44	80	8	4					90,81	08300		
10	0,30	14	9,5	26,0	26	66	10	4	92,75	10100						
10	0,30	22	9,5	32,0	32	72	10	4			115,46	10200				
10	0,30	22	9,5	58,0	60	100	10	4							136,27	10400
10	0,30	33	9,5	54,0	60	100	10	4					117,28	10300		
12	0,30	16	11,5	28,0	28	73	12	4	138,09	12100						
12	0,30	26	11,5	38,0	38	83	12	4			160,73	12200				
12	0,30	26	11,5	73,0	75	120	12	4							169,83	12400
12	0,30	42	11,5	54,0	55	100	12	4					151,52	12300		
14	0,30	18	13,5	30,0	30	75	14	4	176,31	14100						
14	0,30	26	13,5	38,0	38	83	14	4			207,48	14200				
14	0,30	48	13,5	54,0	55	100	14	4					169,83	14300		
16	0,40	22	15,5	34,0	34	82	16	4	221,02	16100						
16	0,40	36	15,5	44,0	44	92	16	4			260,26	16200				
16	0,40	36	15,5	100,0	102	150	16	4							296,43	16400
16	0,40	53	15,5	84,0	102	150	16	4					278,46	16300		
20	0,50	26	19,5	42,0	42	92	20	4	344,44	20100						
20	0,50	38	19,5	54,0	54	104	20	4			400,40	20200				
20	0,50	38	19,5	100,0	100	150	20	4							420,31	20400
20	0,50	68	19,5	84,0	100	150	20	4					400,40	20300		

P	●	●	●	●
M	●	●	●	●
K	●	●	●	●
N	○	○	○	○
S	○	○	○	○
H				
O				

→ v_c/f_z Página 14–19

S-Cut – Fresa frontal con radio en la esquina

La fresa sostenible de alto rendimiento para el mecanizado universal

UNI | λ_s var. | λ_s=40° γ_s=10° | HPC

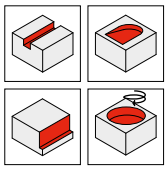

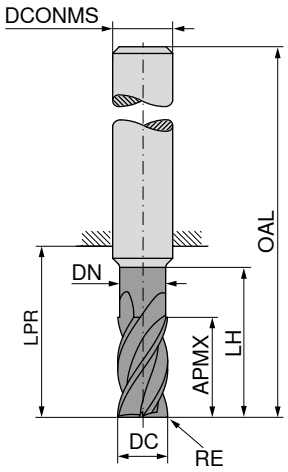

NEW

DPC72S

upGRADE

DRAGONSKIN

≈DIN 6527

52 520 ...

DC f8 mm	RE mm	APMX mm	DN mm	LH mm	LPR mm	OAL mm	DCONMS h6 mm	ZEFP	EUR V0	
3	0,25	8	2,8	15,0	21	57	6	4	60,64	03203
3	0,50	8	2,8	15,0	21	57	6	4	60,64	03205
3	1,00	8	2,8	15,0	21	57	6	4	60,64	03210
4	0,25	11	3,8	16,5	21	57	6	4	60,64	04203
4	0,50	11	3,8	16,5	21	57	6	4	60,64	04205
4	1,00	11	3,8	16,5	21	57	6	4	60,64	04210
5	0,50	13	4,8	18,5	21	57	6	4	60,64	05205
5	1,00	13	4,8	18,5	21	57	6	4	60,64	05210
5	1,50	13	4,8	18,5	21	57	6	4	60,64	05215
6	0,50	13	5,5	21,0	21	57	6	4	60,64	06205
6	0,80	13	5,5	21,0	21	57	6	4	60,64	06208
6	1,00	13	5,5	21,0	21	57	6	4	60,64	06210
6	1,50	13	5,5	21,0	21	57	6	4	60,64	06215
6	2,00	13	5,5	21,0	21	57	6	4	60,64	06220
8	0,50	19	7,5	27,0	27	63	8	4	81,39	08205
8	0,80	19	7,5	27,0	27	63	8	4	81,39	08208
8	1,00	19	7,5	27,0	27	63	8	4	81,39	08210
8	1,50	19	7,5	27,0	27	63	8	4	81,39	08215
8	2,00	19	7,5	27,0	27	63	8	4	81,39	08220
10	0,50	22	9,5	32,0	32	72	10	4	115,46	10205
10	1,00	22	9,5	32,0	32	72	10	4	115,46	10210
10	1,50	22	9,5	32,0	32	72	10	4	115,46	10215
10	1,60	22	9,5	32,0	32	72	10	4	115,46	10216
10	2,00	22	9,5	32,0	32	72	10	4	115,46	10220
12	0,50	26	11,5	38,0	38	83	12	4	160,73	12205
12	1,00	26	11,5	38,0	38	83	12	4	160,73	12210
12	1,50	26	11,5	38,0	38	83	12	4	160,73	12215
12	1,60	26	11,5	38,0	38	83	12	4	160,73	12216
12	2,00	26	11,5	38,0	38	83	12	4	160,73	12220
12	3,00	26	11,5	38,0	38	83	12	4	160,73	12230
16	1,00	36	15,5	44,0	44	92	16	4	260,26	16210
16	1,50	36	15,5	44,0	44	92	16	4	260,26	16215
16	1,60	36	15,5	44,0	44	92	16	4	260,26	16216
16	2,00	36	15,5	44,0	44	92	16	4	260,26	16220
16	2,50	36	15,5	44,0	44	92	16	4	260,26	16225
16	3,00	36	15,5	44,0	44	92	16	4	260,26	16230
20	1,00	38	19,5	54,0	54	104	20	4	400,40	20210
20	1,50	38	19,5	54,0	54	104	20	4	400,40	20215
20	2,00	38	19,5	54,0	54	104	20	4	400,40	20220
20	2,50	38	19,5	54,0	54	104	20	4	400,40	20225
20	3,00	38	19,5	54,0	54	104	20	4	400,40	20230
20	4,00	38	19,5	54,0	54	104	20	4	400,40	20240

P	●
M	●
K	●
N	○
S	○
H	
O	

→ v_c/f_z Página 14+15

S-Cut – Fresa frontal

La fresa sostenible de alto rendimiento para el mecanizado universal

- ▲ Adecuada para el fresado trocoidal
- ▲ Con rompevirutas
- ▲ Profundidad de corte: 3 x DC

UNI | λ_s var. | λ_s=40° γ_s=10° | HPC

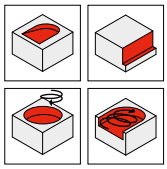

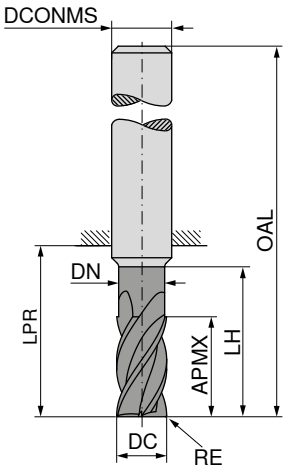

NEW

DPC72S

upGRADE

DRAGONSKIN

≈DIN 6527

52 521 ...

DC f8 mm	RE mm	APMX mm	DN mm	LH mm	LPR mm	OAL mm	DCONMS h6 mm	ZEFP	EUR V0	
6	0,12	18	5,5	25	26	62	6	5	89,96	**06200**
8	0,16	24	7,5	30	32	68	8	5	119,10	**08200**
10	0,20	30	9,5	35	40	80	10	5	151,52	**10200**
12	0,24	36	11,5	45	48	93	12	5	199,40	**12200**
14	0,28	42	13,5	52	56	100	14	5	265,10	**14200**
16	0,32	48	15,5	55	60	108	16	5	341,02	**16200**
18	0,36	54	17,5	67	72	120	18	5	458,20	**18200**
20	0,40	60	19,5	70	76	126	20	5	537,24	**20200**

P	●
M	●
K	●
N	○
S	○
H	
O	

→ v_c/f_z Página 20+21

S-Cut – Fresa frontal

La fresa sostenible de alto rendimiento para el mecanizado universal

▲ Especialmente diseñada para el mecanizado de grandes volúmenes

UNImax | λ_s var. | λ_s=17°-45° γ_s=15° | HPC

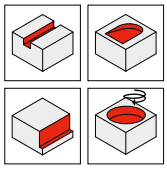

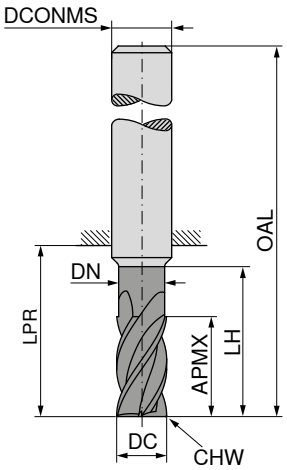

NEW DPC72S upGRADE DRAGONSKIN

NEW DPC72S upGRADE DRAGONSKIN

DIN 6527

DIN 6527

DC f8 mm	APMX mm	DN mm	LH mm	LPR mm	OAL mm	DCONMS h6 mm	CHW mm	ZEFP	52 522 ... EUR V0/5A		52 523 ... EUR V0/5A	
3	8	2,8	13	21	57	6	0,1	4	56,61	03200	56,61	03200
4	11	3,8	17	21	57	6	0,1	4	56,61	04200	56,61	04200
5	13	4,8	19	21	57	6	0,1	4	56,61	05200	56,61	05200
6	13	5,8	19	21	57	6	0,1	4	56,61	06200	56,61	06200
8	21	7,7	25	27	63	8	0,2	4	76,32	08200	76,32	08200
10	22	9,7	30	32	72	10	0,2	4	111,69	10200	111,69	10200
12	26	11,6	36	38	83	12	0,3	4	142,74	12200	142,74	12200
14	26	13,6	36	38	83	14	0,3	4	197,27	14200	197,27	14200
16	36	15,5	42	44	92	16	0,3	4	322,02	16200	322,02	16200
18	36	17,5	42	44	92	18	0,3	4	422,42	18200	422,42	18200
20	41	19,5	52	54	104	20	0,3	4	439,10	20200	439,10	20200
P									●		●	
M									●		●	
K									●		●	
N									○		○	
S												
H												
O												

→ v_c/f_z Página 22+23

Ejemplos de materiales relacionados con las tablas de datos de corte

	Subgrupo de materiales	Índice	Composición / estructura / tratamiento térmico		Resistencia N/mm²* / HB / HRC	Número del material	Designación del material	Número del material	Designación del material
P	Acero sin alear	P.1.1	< 0,15 % C	recocido	420 N/mm² / 125 HB	1.0401	C15	1.1141	F111, F112, ST52
		P.1.2	< 0,45 % C	recocido	640 N/mm² / 190 HB	1.1191	C45E	1.0718	F211, F212, F213
		P.1.3		templado y revenido	840 N/mm² / 250 HB	1.1191	C45E	1.0535	F113- F114-C45
		P.1.4	< 0,75 % C	recocido	910 N/mm² / 270 HB	1.1223	C60R	1.0535	C55, C55K
		P.1.5		templado y revenido	1010 N/mm² / 300 HB	1.1223	C60R	1.0727	45S20, 46S20
	Acero de baja aleación	P.2.1		recocido	610 N/mm² / 180 HB	1.7131	16MnCr5	1.6587	F151, F152
		P.2.2		templado y revenido	930 N/mm² / 275 HB	1.7131	16MnCr5	1.6587	F152, F154, F155
		P.2.3		templado y revenido	1010 N/mm² / 300 HB	1.7225	42CrMo4	1.3505	F125
		P.2.4		templado y revenido	1200 N/mm² / 375 HB	1.7225	42CrMo4	1.3505	F125, F127, F156
	Acero de alta aleación y acero de herramientas	P.3.1		recocido	680 N/mm² / 200 HB	1.4021	X20Cr13	1.4034	X46Cr13
		P.3.2		templado y revenido	1100 N/mm² / 300 HB	1.2343	X38CrMoV5-1	1.4034	F521, F522, 1.2379
		P.3.3		templado y revenido	1300 N/mm² / 400 HB	1.2343	X38CrMoV5-1	1.4034	1.2738, 1.2311
	Acero inoxidable	P.4.1	Ferrítico / martensítico	recocido	680 N/mm² / 200 HB	1.4016	X6Cr17	1.2316	410, 420, 430, 440C
		P.4.2	Martensítico	templado y revenido	1010 N/mm² / 300 HB	1.4112	X90CrMoV18	1.2316	431, 420, 430, 440C
M	Acero inoxidable	M.1.1	Austenítico / austenítico-ferrítico	recocido	610 N/mm² / 180 HB	1.4301	X5CrNi18-10	1.4571	303, 304, 316, 304L
		M.2.1	Resistentes al calor, superausteníticos	recocido	300 HB	1.4841	X15CrNiSi25-21	1.4539	310, 314, 330, 904L
		M.3.1	Austenítico / ferrítico (Dúplex)		780 N/mm² / 230 HB	1.4462	X2CrNiMoN22-5-3	1.4501	2205, 2304, 2507
K	Fundición gris	K.1.1	Perlítico / ferrítico		350 N/mm² / 180 HB	0.6010	GG-10	0.6025	GG-25, GJL-250
		K.1.2	Perlítico (martensítico)		500 N/mm² / 260 HB	0.6030	GG-30	0.6045	GJL-300, FG-30
	Fundición gris con grafito esferoidal	K.2.1	Ferrítico		540 N/mm² / 160 HB	0.7040	GGG-40	0.7060	GJS-400, FGE-42
		K.2.2	Perlítico		845 N/mm² / 250 HB	0.7070	GGG-70	0.7080	GGG-60, GJS-600
	Hierro fundido maleable	K.3.1	Ferrítico		440 N/mm² / 130 HB	0.8035	GTW-35-04	0.8045	GTW-45
		K.3.2	Perlítico		780 N/mm² / 230 HB	0.8165	GTS-65-02	0.8170	GTS-70-02
N	Aleación de aluminio forjado	N.1.1	No endurecible		60 HB	3.0255	Al99,5	3.3315	AlMg1, 1050A, 6082
		N.1.2	Endurecible	endurecido	340 N/mm² / 100 HB	3.1355	AlCuMg2	3.2315	2024, 5083, 7075
	Aleación de aluminio fundido	N.2.1	≤ 12 % Si, no endurecible		250 N/mm² / 75 HB	3.2581	G-AlSi12	3.2163	AlSi12, AlSi9Cu3
		N.2.2	≤ 12 % Si, endurecible	endurecido	300 N/mm² / 90 HB	3.2134	G-AlSi5Cu1Mg	3.2373	AlSi7Mg, AlSi9Mg
		N.2.3	> 12 % Si, no endurecible		440 N/mm² / 130 HB		G-AlSi17Cu4Mg		G-AlSi18CuNiMg
	Cobre y aleaciones de cobre (bronce, latón)	N.3.1	Aleaciones para mecanizado, Pb > 1 %		375 N/mm² / 110 HB	2.0380	CuZn39Pb2 (Ms58)	2.0410	Latón v/corta, Bronce
		N.3.2	Cu Zn, Cu Sn Zn		300 N/mm² / 90 HB	2.0331	CuZn15	2.4070	Latón viruta larga
		N.3.3	Cu Sn, cobre sin plomo y cobre electrolítico		340 N/mm² / 100 HB	2.0060	E-Cu57	2.0590	Cobre 99,9%, C101
	Aleaciones de magnesio	N.4.1	Magnesio y aleaciones de magnesio		70 HB	3.5612	MgAl6Zn	3.5312	MgAl3Zn
S	Aleaciones resistentes al calor	S.1.1	Base - Fe	recocido	680 N/mm² / 200 HB	1.4864	X12NiCrSi 36-16	1.4865	Invar 36, A286
		S.1.2		endurecido	950 N/mm² / 280 HB	1.4980	X6NiCrTiMoVB25-15-2	1.4876	Incoloy 800
		S.2.1	Base Ni o Co	recocido	840 N/mm² / 250 HB	2.4631	NiCr20TiAl (Nimonic80A)	3.4856	Hastelloy C276
		S.2.2		endurecido	1180 N/mm² / 350 HB	2.4668	NiCr19Nb5Mo3 (Inconel 718)	2.4955	Haynes, Rene 41
		S.2.3		fundido	1080 N/mm² / 320 HB	2.4765	CoCr20W15Ni	1.3401	Cromo-Cobalto
	Aleaciones de titanio	S.3.1	Titanio puro		400 N/mm²	3.7025	Ti99,8	3.7034	Ti Grado 1, 2, 3, 4
		S.3.2	Aleaciones Alpha- + Beta	endurecido	1050 N/mm² / 320 HB	3.7165	TiAl6V4	Ti-6246	Ti Grado 5
		S.3.3	Aleaciones Beta		1400 N/mm² / 410 HB	Ti555.3	Ti-5Al-5V-5Mo-3Cr	R56410	Ti10V2Fe3Al
H	Acero templado	H.1.1		templado y endurecido	46–55 HRC				
		H.1.2		templado y endurecido	56–60 HRC				
		H.1.3		templado y endurecido	61–65 HRC				
		H.1.4		templado y endurecido	66–70 HRC				
	Fundición templada	H.2.1		fundido	400 HB				
	Fundición gris endurecida	H.3.1		templado y endurecido	55 HRC				
O	No metálicos	O.1.1	Duroplásticos, Termoestables		≤ 150 N/mm²			PU	Baquelita, Fenólicos Resinas Epoxy
		O.1.2	Termoplásticos		≤ 100 N/mm²			PE, PET PMMA, PS	Nylon, PVC, ABS Teflón, PC, POM
		O.2.1	Reforzado con fibras aramidas		≤ 1000 N/mm²				Kevlar, Nomex
		O.2.2	Reforzado con fibra de vidrio / carbono		≤ 1000 N/mm²			CFRP GFRP	
		O.3.1	Grafito						

*** Resistencia a la tracción**

Datos de corte – S-Cut UNI – Fresa frontal

Índice	Tipo corta		Tipo larga		52 515…, 52 516…, 52 517…, 52 520…															
					Ø DC (mm) =															
					3			4			5			6			8		
					a_e 0,1–0,2 x DC	a_e 0,3–0,4 x DC	a_e 0,6–1,0 x DC	a_e 0,1–0,2 x DC	a_e 0,3–0,4 x DC	a_e 0,6–1,0 x DC	a_e 0,1–0,2 x DC	a_e 0,3–0,4 x DC	a_e 0,6–1,0 x DC	a_e 0,1–0,2 x DC	a_e 0,3–0,4 x DC	a_e 0,6–1,0 x DC	a_e 0,1–0,2 x DC	a_e 0,3–0,4 x DC	a_e 0,6–1,0 x DC
	v_c (m/min)	$a_{p\,max.}$ x DC	v_c (m/min)	$a_{p\,max.}$ x DC	f_z (mm)															
P.1.1	220	1,0	220	1,5	0,034	0,028	0,020	0,043	0,036	0,025	0,055	0,046	0,032	0,065	0,054	0,038	0,088	0,073	0,051
P.1.2	210	1,0	210	1,5	0,034	0,028	0,020	0,043	0,036	0,025	0,055	0,046	0,032	0,065	0,054	0,038	0,088	0,073	0,051
P.1.3	210	1,0	210	1,5	0,034	0,028	0,020	0,043	0,036	0,025	0,055	0,046	0,032	0,065	0,054	0,038	0,088	0,073	0,051
P.1.4	200	1,0	200	1,5	0,034	0,028	0,020	0,043	0,036	0,025	0,055	0,046	0,032	0,065	0,054	0,038	0,088	0,073	0,051
P.1.5	200	1,0	200	1,5	0,034	0,028	0,020	0,043	0,036	0,025	0,055	0,046	0,032	0,065	0,054	0,038	0,088	0,073	0,051
P.2.1	210	1,0	210	1,5	0,034	0,028	0,020	0,043	0,036	0,025	0,055	0,046	0,032	0,065	0,054	0,038	0,088	0,073	0,051
P.2.2	200	1,0	200	1,5	0,025	0,021	0,015	0,035	0,029	0,020	0,046	0,038	0,027	0,056	0,047	0,033	0,076	0,063	0,044
P.2.3	190	1,0	190	1,5	0,034	0,028	0,020	0,043	0,036	0,025	0,055	0,046	0,032	0,065	0,054	0,038	0,088	0,073	0,051
P.2.4	180	1,0	180	1,5	0,025	0,021	0,015	0,035	0,029	0,020	0,046	0,038	0,027	0,056	0,047	0,033	0,076	0,063	0,044
P.3.1	190	1,0	190	1,5	0,034	0,028	0,020	0,043	0,036	0,025	0,055	0,046	0,032	0,065	0,054	0,038	0,088	0,073	0,051
P.3.2	180	1,0	180	1,5	0,034	0,028	0,020	0,043	0,036	0,025	0,055	0,046	0,032	0,065	0,054	0,038	0,088	0,073	0,051
P.3.3	150	1,0	150	1,5	0,034	0,028	0,020	0,043	0,036	0,025	0,055	0,046	0,032	0,065	0,054	0,038	0,088	0,073	0,051
P.4.1	100	1,0	100	1,5	0,016	0,013	0,009	0,022	0,018	0,013	0,029	0,024	0,017	0,035	0,029	0,020	0,049	0,041	0,029
P.4.2	95	1,0	95	1,5	0,016	0,013	0,009	0,022	0,018	0,013	0,029	0,024	0,017	0,035	0,029	0,020	0,049	0,041	0,029
M.1.1	100	1,0	100	1,5	0,016	0,013	0,009	0,022	0,018	0,013	0,029	0,024	0,017	0,035	0,029	0,020	0,049	0,041	0,029
M.2.1	90	1,0	90	1,5	0,016	0,013	0,009	0,022	0,018	0,013	0,029	0,024	0,017	0,035	0,029	0,020	0,049	0,041	0,029
M.3.1	85	1,0	85	1,5	0,016	0,013	0,009	0,022	0,018	0,013	0,029	0,024	0,017	0,035	0,029	0,020	0,049	0,041	0,029
K.1.1	230	1,0	230	1,5	0,042	0,035	0,025	0,058	0,048	0,034	0,072	0,060	0,042	0,088	0,073	0,051	1,176	0,980	0,686
K.1.2	210	1,0	210	1,5	0,042	0,035	0,025	0,058	0,048	0,034	0,072	0,060	0,042	0,088	0,073	0,051	1,176	0,980	0,686
K.2.1	220	1,0	220	1,5	0,034	0,028	0,020	0,043	0,036	0,025	0,055	0,046	0,032	0,065	0,054	0,038	0,088	0,073	0,051
K.2.2	200	1,0	200	1,5	0,034	0,028	0,020	0,043	0,036	0,025	0,055	0,046	0,032	0,065	0,054	0,038	0,088	0,073	0,051
K.3.1	210	1,0	210	1,5	0,034	0,028	0,020	0,043	0,036	0,025	0,055	0,046	0,032	0,065	0,054	0,038	0,088	0,073	0,051
K.3.2	190	1,0	190	1,5	0,034	0,028	0,020	0,043	0,036	0,025	0,055	0,046	0,032	0,065	0,054	0,038	0,088	0,073	0,051
N.1.1																			
N.1.2																			
N.2.1	500	1,0	500	1,5	0,046	0,038	0,027	0,061	0,051	0,036	0,076	0,063	0,044	0,091	0,076	0,053	0,120	0,100	0,070
N.2.2	480	1,0	480	1,5	0,044	0,037	0,026	0,060	0,050	0,035	0,074	0,062	0,043	0,090	0,075	0,053	1,188	0,990	0,693
N.2.3	420	1,0	420	1,5	0,044	0,037	0,026	0,060	0,050	0,035	0,074	0,062	0,043	0,090	0,075	0,053	1,188	0,990	0,693
N.3.1	340	1,0	340	1,5	0,042	0,035	0,025	0,058	0,048	0,034	0,072	0,060	0,042	0,088	0,073	0,051	1,176	0,980	0,686
N.3.2	340	1,0	340	1,5	0,042	0,035	0,025	0,058	0,048	0,034	0,072	0,060	0,042	0,088	0,073	0,051	1,176	0,980	0,686
N.3.3	270	1,0	270	1,5	0,042	0,035	0,025	0,058	0,048	0,034	0,072	0,060	0,042	0,088	0,073	0,051	1,176	0,980	0,686
N.4.1																			
S.1.1	30	1,0	30	1,5	0,013	0,011	0,008	0,018	0,015	0,011	0,023	0,019	0,013	0,028	0,023	0,016	0,037	0,031	0,022
S.1.2	30	1,0	30	1,5	0,013	0,011	0,008	0,018	0,015	0,011	0,023	0,019	0,013	0,028	0,023	0,016	0,037	0,031	0,022
S.2.1	30	1,0	30	1,5	0,013	0,011	0,008	0,018	0,015	0,011	0,023	0,019	0,013	0,028	0,023	0,016	0,037	0,031	0,022
S.2.2	30	1,0	30	1,5	0,013	0,011	0,008	0,018	0,015	0,011	0,023	0,019	0,013	0,028	0,023	0,016	0,037	0,031	0,022
S.2.3	30	1,0	30	1,5	0,013	0,011	0,008	0,018	0,015	0,011	0,023	0,019	0,013	0,028	0,023	0,016	0,037	0,031	0,022
S.3.1	80	1,0	80	1,5	0,025	0,021	0,015	0,035	0,029	0,020	0,046	0,038	0,027	0,056	0,047	0,033	0,076	0,063	0,044
S.3.2	50	1,0	50	1,5	0,016	0,013	0,009	0,022	0,018	0,013	0,029	0,024	0,017	0,035	0,029	0,020	0,049	0,041	0,029
S.3.3																			
H.1.1																			
H.1.2																			
H.1.3																			
H.1.4																			
H.2.1																			
H.3.1																			
O.1.1																			
O.1.2																			
O.2.1																			
O.2.2																			
O.3.1																			

Ángulo máximo para entrada en rampa y fresado helicoidal:

Ø 3 =	2°	Ø 10 =	5°
Ø 4 =	2°	Ø 12 =	8°
Ø 5 =	2,5°	Ø 14 =	8°
Ø 6 =	3°	Ø 16 =	10°
Ø 8 =	4°	Ø 20 =	15°

Índice	52 515..., 52 516..., 52 517..., 52 520...															● Opción preferente ○ Apto		
	Ø DC (mm) =																	
	10			12			14			16			20					
	a_e 0,1–0,2 x DC	a_e 0,3–0,4 x DC	a_e 0,6–1,0 x DC	a_e 0,1–0,2 x DC	a_e 0,3–0,4 x DC	a_e 0,6–1,0 x DC	a_e 0,1–0,2 x DC	a_e 0,3–0,4 x DC	a_e 0,6–1,0 x DC	a_e 0,1–0,2 x DC	a_e 0,3–0,4 x DC	a_e 0,6–1,0 x DC	a_e 0,1–0,2 x DC	a_e 0,3–0,4 x DC	a_e 0,6–1,0 x DC	Taladrina	Aire comprimido	Cantidad mínima de lubricación
	f_z (mm)																	
P.1.1	0,109	0,091	0,064	0,132	0,110	0,077	0,144	0,120	0,084	0,154	0,128	0,090	0,168	0,140	0,098	●	●	○
P.1.2	0,109	0,091	0,064	0,132	0,110	0,077	0,144	0,120	0,084	0,154	0,128	0,090	0,168	0,140	0,098	●	●	○
P.1.3	0,109	0,091	0,064	0,132	0,110	0,077	0,144	0,120	0,084	0,154	0,128	0,090	0,168	0,140	0,098	●	●	○
P.1.4	0,109	0,091	0,064	0,132	0,110	0,077	0,144	0,120	0,084	0,154	0,128	0,090	0,168	0,140	0,098	●	●	○
P.1.5	0,109	0,091	0,064	0,132	0,110	0,077	0,144	0,120	0,084	0,154	0,128	0,090	0,168	0,140	0,098	●	●	○
P.2.1	0,109	0,091	0,064	0,132	0,110	0,077	0,144	0,120	0,084	0,154	0,128	0,090	0,168	0,140	0,098	●	●	○
P.2.2	0,095	0,079	0,055	0,114	0,095	0,067	0,120	0,100	0,070	0,130	0,108	0,076	0,144	0,120	0,084	●	●	○
P.2.3	0,109	0,091	0,064	0,132	0,110	0,077	0,144	0,120	0,084	0,154	0,128	0,090	0,168	0,140	0,098	●	●	○
P.2.4	0,095	0,079	0,055	0,114	0,095	0,067	0,120	0,100	0,070	0,130	0,108	0,076	0,144	0,120	0,084	●	●	○
P.3.1	0,109	0,091	0,064	0,132	0,110	0,077	0,144	0,120	0,084	0,154	0,128	0,090	0,168	0,140	0,098	●	●	○
P.3.2	0,109	0,091	0,064	0,132	0,110	0,077	0,144	0,120	0,084	0,154	0,128	0,090	0,168	0,140	0,098	●	●	○
P.3.3	0,109	0,091	0,064	0,132	0,110	0,077	0,144	0,120	0,084	0,154	0,128	0,090	0,168	0,140	0,098	●	●	○
P.4.1	0,062	0,052	0,036	0,076	0,063	0,044	0,084	0,070	0,049	0,096	0,080	0,056	0,108	0,090	0,063	●	○	
P.4.2	0,062	0,052	0,036	0,076	0,063	0,044	0,084	0,070	0,049	0,096	0,080	0,056	0,108	0,090	0,063	●	○	
M.1.1	0,062	0,052	0,036	0,076	0,063	0,044	0,084	0,070	0,049	0,096	0,080	0,056	0,108	0,090	0,063	●	○	
M.2.1	0,062	0,052	0,036	0,076	0,063	0,044	0,084	0,070	0,049	0,096	0,080	0,056	0,108	0,090	0,063	●	○	
M.3.1	0,062	0,052	0,036	0,076	0,063	0,044	0,084	0,070	0,049	0,096	0,080	0,056	0,108	0,090	0,063	●	○	
K.1.1	0,148	0,123	0,086	0,180	0,150	0,105	0,204	0,170	0,119	0,216	0,180	0,126	0,240	0,200	0,140	●	●	●
K.1.2	0,148	0,123	0,086	0,180	0,150	0,105	0,204	0,170	0,119	0,216	0,180	0,126	0,240	0,200	0,140	●	●	●
K.2.1	0,108	0,090	0,063	0,132	0,110	0,077	0,156	0,130	0,091	0,168	0,140	0,098	0,192	0,160	0,112	●	●	●
K.2.2	0,108	0,090	0,063	0,132	0,110	0,077	0,156	0,130	0,091	0,168	0,140	0,098	0,192	0,160	0,112	●	●	●
K.3.1	0,108	0,090	0,063	0,132	0,110	0,077	0,156	0,130	0,091	0,168	0,140	0,098	0,192	0,160	0,112	●	●	●
K.3.2	0,108	0,090	0,063	0,132	0,110	0,077	0,156	0,130	0,091	0,168	0,140	0,098	0,192	0,160	0,112	●	●	●
N.1.1																		
N.1.2																		
N.2.1	0,162	0,135	0,095	0,186	0,155	0,109	0,216	0,180	0,126	0,228	0,190	0,133	0,240	0,200	0,140	●	●	
N.2.2	0,156	0,130	0,091	0,180	0,150	0,105	0,210	0,175	0,123	0,222	0,185	0,130	0,234	0,195	0,137	●	●	
N.2.3	0,156	0,130	0,091	0,180	0,150	0,105	0,210	0,175	0,123	0,222	0,185	0,130	0,234	0,195	0,137	●	●	
N.3.1	0,144	0,120	0,084	0,174	0,145	0,102	0,204	0,170	0,119	0,216	0,180	0,126	0,228	0,190	0,133	●	●	
N.3.2	0,144	0,120	0,084	0,174	0,145	0,102	0,204	0,170	0,119	0,216	0,180	0,126	0,228	0,190	0,133	●	●	
N.3.3	0,144	0,120	0,084	0,174	0,145	0,102	0,204	0,170	0,119	0,216	0,180	0,126	0,228	0,190	0,133	●	●	
N.4.1																		
S.1.1	0,047	0,039	0,027	0,056	0,047	0,033	0,066	0,055	0,039	0,071	0,059	0,041	0,079	0,066	0,046	●		
S.1.2	0,047	0,039	0,027	0,056	0,047	0,033	0,066	0,055	0,039	0,071	0,059	0,041	0,079	0,066	0,046	●		
S.2.1	0,047	0,039	0,027	0,056	0,047	0,033	0,066	0,055	0,039	0,071	0,059	0,041	0,079	0,066	0,046	●		
S.2.2	0,047	0,039	0,027	0,056	0,047	0,033	0,066	0,055	0,039	0,071	0,059	0,041	0,079	0,066	0,046	●		
S.2.3	0,047	0,039	0,027	0,056	0,047	0,033	0,066	0,055	0,039	0,071	0,059	0,041	0,079	0,066	0,046	●		
S.3.1	0,095	0,079	0,055	0,114	0,095	0,067	0,132	0,110	0,077	0,137	0,114	0,080	0,144	0,120	0,084	●		
S.3.2	0,062	0,052	0,036	0,076	0,063	0,044	0,089	0,074	0,052	0,094	0,078	0,055	0,106	0,088	0,062	●		
S.3.3																		
H.1.1																		
H.1.2																		
H.1.3																		
H.1.4																		
H.2.1																		
H.3.1																		
O.1.1																		
O.1.2																		
O.2.1																		
O.2.2																		
O.3.1																		

Datos de corte – S-Cut UNI – Fresa frontal

Índice	Tipo mediana		52 518 ...															
			Ø DC (mm) =															
			3			4			5			6			8			
			a_e 0,1–0,2 x DC	a_e 0,3–0,4 x DC	a_e 0,6–1,0 x DC	a_e 0,1–0,2 x DC	a_e 0,3–0,4 x DC	a_e 0,6–1,0 x DC	a_e 0,1–0,2 x DC	a_e 0,3–0,4 x DC	a_e 0,6–1,0 x DC	a_e 0,1–0,2 x DC	a_e 0,3–0,4 x DC	a_e 0,6–1,0 x DC	a_e 0,1–0,2 x DC	a_e 0,3–0,4 x DC	a_e 0,6–1,0 x DC
	v_c (m/min)	$a_{p\,max.}$ x DC	f_z (mm)															
P.1.1	210	1,5	0,030	0,025	0,018	0,040	0,033	0,023	0,052	0,043	0,030	0,061	0,051	0,036	0,084	0,070	0,049	
P.1.2	200	1,5	0,030	0,025	0,018	0,040	0,033	0,023	0,052	0,043	0,030	0,061	0,051	0,036	0,084	0,070	0,049	
P.1.3	200	1,5	0,030	0,025	0,018	0,040	0,033	0,023	0,052	0,043	0,030	0,061	0,051	0,036	0,084	0,070	0,049	
P.1.4	190	1,5	0,030	0,025	0,018	0,040	0,033	0,023	0,052	0,043	0,030	0,061	0,051	0,036	0,084	0,070	0,049	
P.1.5	190	1,5	0,030	0,025	0,018	0,040	0,033	0,023	0,052	0,043	0,030	0,061	0,051	0,036	0,084	0,070	0,049	
P.2.1	200	1,5	0,030	0,025	0,018	0,040	0,033	0,023	0,052	0,043	0,030	0,061	0,051	0,036	0,084	0,070	0,049	
P.2.2	190	1,5	0,022	0,018	0,013	0,031	0,026	0,018	0,042	0,035	0,025	0,053	0,044	0,031	0,072	0,060	0,042	
P.2.3	180	1,5	0,030	0,025	0,018	0,040	0,033	0,023	0,052	0,043	0,030	0,061	0,051	0,036	0,084	0,070	0,049	
P.2.4	170	1,5	0,022	0,018	0,013	0,031	0,026	0,018	0,042	0,035	0,025	0,053	0,044	0,031	0,072	0,060	0,042	
P.3.1	180	1,5	0,030	0,025	0,018	0,040	0,033	0,023	0,052	0,043	0,030	0,061	0,051	0,036	0,084	0,070	0,049	
P.3.2	170	1,5	0,030	0,025	0,018	0,040	0,033	0,023	0,052	0,043	0,030	0,061	0,051	0,036	0,084	0,070	0,049	
P.3.3	140	1,5	0,030	0,025	0,018	0,040	0,033	0,023	0,052	0,043	0,030	0,061	0,051	0,036	0,084	0,070	0,049	
P.4.1	95	1,5	0,012	0,010	0,007	0,018	0,015	0,011	0,025	0,021	0,015	0,031	0,026	0,018	0,046	0,038	0,027	
P.4.2	90	1,5	0,012	0,010	0,007	0,018	0,015	0,011	0,025	0,021	0,015	0,031	0,026	0,018	0,046	0,038	0,027	
M.1.1	95	1,5	0,012	0,010	0,007	0,018	0,015	0,011	0,025	0,021	0,015	0,031	0,026	0,018	0,046	0,038	0,027	
M.2.1	85	1,5	0,012	0,010	0,007	0,018	0,015	0,011	0,025	0,021	0,015	0,031	0,026	0,018	0,046	0,038	0,027	
M.3.1	80	1,5	0,012	0,010	0,007	0,018	0,015	0,011	0,025	0,021	0,015	0,031	0,026	0,018	0,046	0,038	0,027	
K.1.1	220	1,5	0,038	0,032	0,022	0,054	0,045	0,032	0,068	0,057	0,040	0,084	0,070	0,049	0,114	0,095	0,067	
K.1.2	200	1,5	0,038	0,032	0,022	0,054	0,045	0,032	0,068	0,057	0,040	0,084	0,070	0,049	0,114	0,095	0,067	
K.2.1	210	1,5	0,030	0,025	0,018	0,040	0,033	0,023	0,052	0,043	0,030	0,061	0,051	0,036	0,084	0,070	0,049	
K.2.2	190	1,5	0,030	0,025	0,018	0,040	0,033	0,023	0,052	0,043	0,030	0,061	0,051	0,036	0,084	0,070	0,049	
K.3.1	200	1,5	0,030	0,025	0,018	0,040	0,033	0,023	0,052	0,043	0,030	0,061	0,051	0,036	0,084	0,070	0,049	
K.3.2	180	1,5	0,030	0,025	0,018	0,040	0,033	0,023	0,052	0,043	0,030	0,061	0,051	0,036	0,084	0,070	0,049	
N.1.1																		
N.1.2																		
N.2.1	480	1,5	0,042	0,035	0,025	0,058	0,048	0,034	0,072	0,060	0,042	0,088	0,073	0,051	0,116	0,097	0,068	
N.2.2	460	1,5	0,041	0,034	0,024	0,056	0,047	0,033	0,071	0,059	0,041	0,086	0,072	0,050	0,115	0,096	0,067	
N.2.3	400	1,5	0,041	0,034	0,024	0,056	0,047	0,033	0,071	0,059	0,041	0,086	0,072	0,050	0,115	0,096	0,067	
N.3.1	320	1,5	0,038	0,032	0,022	0,054	0,045	0,032	0,068	0,057	0,040	0,084	0,070	0,049	0,114	0,095	0,067	
N.3.2	320	1,5	0,038	0,032	0,022	0,054	0,045	0,032	0,068	0,057	0,040	0,084	0,070	0,049	0,114	0,095	0,067	
N.3.3	250	1,5	0,038	0,032	0,022	0,054	0,045	0,032	0,068	0,057	0,040	0,084	0,070	0,049	0,114	0,095	0,067	
N.4.1																		
S.1.1	25	1,5	0,011	0,009	0,006	0,016	0,013	0,009	0,020	0,017	0,012	0,025	0,021	0,015	0,035	0,029	0,020	
S.1.2	25	1,5	0,011	0,009	0,006	0,016	0,013	0,009	0,020	0,017	0,012	0,025	0,021	0,015	0,035	0,029	0,020	
S.2.1	25	1,5	0,011	0,009	0,006	0,016	0,013	0,009	0,020	0,017	0,012	0,025	0,021	0,015	0,035	0,029	0,020	
S.2.2	25	1,5	0,011	0,009	0,006	0,016	0,013	0,009	0,020	0,017	0,012	0,025	0,021	0,015	0,035	0,029	0,020	
S.2.3	25	1,5	0,011	0,009	0,006	0,016	0,013	0,009	0,020	0,017	0,012	0,025	0,021	0,015	0,035	0,029	0,020	
S.3.1	75	1,5	0,023	0,019	0,013	0,032	0,027	0,019	0,043	0,036	0,025	0,054	0,045	0,032	0,073	0,061	0,043	
S.3.2	45	1,5	0,013	0,011	0,008	0,019	0,016	0,011	0,026	0,022	0,015	0,032	0,027	0,019	0,047	0,039	0,027	
S.3.3																		
H.1.1																		
H.1.2																		
H.1.3																		
H.1.4																		
H.2.1																		
H.3.1																		
O.1.1																		
O.1.2																		
O.2.1																		
O.2.2																		
O.3.1																		

Ángulo máximo para entrada en rampa y fresado helicoidal:

Ø 3 =	1°	Ø 10 =	4°
Ø 4 =	1°	Ø 12 =	6°
Ø 5 =	1,5°	Ø 14 =	6°
Ø 6 =	2°	Ø 16 =	8°
Ø 8 =	3°	Ø 20 =	10°

Índice	52 518 ... Ø DC (mm) = 10			12			14			16			20		
	a_e 0,1–0,2 x DC	a_e 0,3–0,4 x DC	a_e 0,6–1,0 x DC	a_e 0,1–0,2 x DC	a_e 0,3–0,4 x DC	a_e 0,6–1,0 x DC	a_e 0,1–0,2 x DC	a_e 0,3–0,4 x DC	a_e 0,6–1,0 x DC	a_e 0,1–0,2 x DC	a_e 0,3–0,4 x DC	a_e 0,6–1,0 x DC	a_e 0,1–0,2 x DC	a_e 0,3–0,4 x DC	a_e 0,6–1,0 x DC
	f_z (mm)														
P.1.1	0,106	0,088	0,062	0,120	0,100	0,070	0,132	0,110	0,077	0,144	0,120	0,084	0,156	0,130	0,091
P.1.2	0,106	0,088	0,062	0,120	0,100	0,070	0,132	0,110	0,077	0,144	0,120	0,084	0,156	0,130	0,091
P.1.3	0,106	0,088	0,062	0,120	0,100	0,070	0,132	0,110	0,077	0,144	0,120	0,084	0,156	0,130	0,091
P.1.4	0,106	0,088	0,062	0,120	0,100	0,070	0,132	0,110	0,077	0,144	0,120	0,084	0,156	0,130	0,091
P.1.5	0,106	0,088	0,062	0,120	0,100	0,070	0,132	0,110	0,077	0,144	0,120	0,084	0,156	0,130	0,091
P.2.1	0,106	0,088	0,062	0,120	0,100	0,070	0,013	0,011	0,008	0,144	0,120	0,084	0,156	0,130	0,091
P.2.2	0,091	0,076	0,053	0,102	0,085	0,060	0,108	0,090	0,063	0,120	0,100	0,070	0,132	0,110	0,077
P.2.3	0,106	0,088	0,062	0,120	0,100	0,070	0,132	0,110	0,077	0,144	0,120	0,084	0,156	0,130	0,091
P.2.4	0,091	0,076	0,053	0,102	0,085	0,060	0,108	0,090	0,063	0,120	0,100	0,070	0,132	0,110	0,077
P.3.1	0,106	0,088	0,062	0,120	0,100	0,070	0,132	0,110	0,077	0,144	0,120	0,084	0,156	0,130	0,091
P.3.2	0,106	0,088	0,062	0,120	0,100	0,070	0,132	0,110	0,077	0,144	0,120	0,084	0,156	0,130	0,091
P.3.3	0,106	0,088	0,062	0,012	0,010	0,007	0,013	0,011	0,008	0,144	0,120	0,084	0,156	0,130	0,091
P.4.1	0,059	0,049	0,034	0,066	0,055	0,039	0,072	0,060	0,042	0,084	0,070	0,049	0,096	0,080	0,056
P.4.2	0,059	0,049	0,034	0,066	0,055	0,039	0,072	0,060	0,042	0,084	0,070	0,049	0,096	0,080	0,056
M.1.1	0,059	0,049	0,034	0,066	0,055	0,039	0,072	0,060	0,042	0,084	0,070	0,049	0,096	0,080	0,056
M.2.1	0,059	0,049	0,034	0,066	0,055	0,039	0,072	0,060	0,042	0,084	0,070	0,049	0,096	0,080	0,056
M.3.1	0,059	0,049	0,034	0,066	0,055	0,039	0,072	0,060	0,042	0,084	0,070	0,049	0,096	0,080	0,056
K.1.1	0,144	0,120	0,084	0,168	0,140	0,098	0,192	0,160	0,112	0,204	0,170	0,119	0,228	0,190	0,133
K.1.2	0,144	0,120	0,084	0,168	0,140	0,098	0,192	0,160	0,112	0,204	0,170	0,119	0,228	0,190	0,133
K.2.1	0,104	0,087	0,061	0,120	0,100	0,070	0,144	0,120	0,084	0,156	0,130	0,091	0,180	0,150	0,105
K.2.2	0,104	0,087	0,061	0,120	0,100	0,070	0,144	0,120	0,084	0,156	0,130	0,091	0,180	0,150	0,105
K.3.1	0,104	0,087	0,061	0,120	0,100	0,070	0,144	0,120	0,084	0,156	0,130	0,091	0,180	0,150	0,105
K.3.2	0,104	0,087	0,061	0,120	0,100	0,070	0,144	0,120	0,084	0,156	0,130	0,091	0,180	0,150	0,105
N.1.1															
N.1.2															
N.2.1	0,158	0,132	0,092	0,174	0,145	0,102	0,204	0,170	0,119	0,216	0,180	0,126	0,228	0,190	0,133
N.2.2	0,152	0,127	0,089	0,168	0,140	0,098	0,198	0,165	0,116	0,210	0,175	0,123	0,222	0,185	0,130
N.2.3	0,152	0,127	0,089	0,017	0,014	0,010	0,198	0,165	0,116	0,210	0,175	0,123	0,222	0,185	0,130
N.3.1	0,140	0,117	0,082	0,162	0,135	0,095	0,192	0,160	0,112	0,204	0,170	0,119	0,216	0,180	0,126
N.3.2	0,140	0,117	0,082	0,162	0,135	0,095	0,192	0,160	0,112	0,204	0,170	0,119	0,216	0,180	0,126
N.3.3	0,140	0,117	0,082	0,162	0,135	0,095	0,192	0,160	0,112	0,204	0,170	0,119	0,216	0,180	0,126
N.4.1															
S.1.1	0,044	0,037	0,026	0,054	0,045	0,032	0,064	0,053	0,037	0,068	0,057	0,040	0,077	0,064	0,045
S.1.2	0,044	0,037	0,026	0,054	0,045	0,032	0,064	0,053	0,037	0,068	0,057	0,040	0,077	0,064	0,045
S.2.1	0,044	0,037	0,026	0,054	0,045	0,032	0,064	0,053	0,037	0,068	0,057	0,040	0,077	0,064	0,045
S.2.2	0,044	0,037	0,026	0,054	0,045	0,032	0,064	0,053	0,037	0,068	0,057	0,040	0,077	0,064	0,045
S.2.3	0,044	0,037	0,026	0,054	0,045	0,032	0,064	0,053	0,037	0,068	0,057	0,040	0,077	0,064	0,045
S.3.1	0,092	0,077	0,054	0,110	0,092	0,064	0,120	0,100	0,070	0,134	0,112	0,078	0,142	0,118	0,083
S.3.2	0,060	0,050	0,035	0,072	0,060	0,042	0,086	0,072	0,050	0,091	0,076	0,053	0,103	0,086	0,060
S.3.3															
H.1.1															
H.1.2															
H.1.3															
H.1.4															
H.2.1															
H.3.1															
O.1.1															
O.1.2															
O.2.1															
O.2.2															
O.3.1															

● Opción preferente
○ Apto

Índice	Taladrina	Aire comprimido	Cantidad mínima de lubricación
P.1.1	●	●	○
P.1.2	●	●	○
P.1.3	●	●	○
P.1.4	●	●	○
P.1.5	●	●	○
P.2.1	●	●	○
P.2.2	●	●	○
P.2.3	●	●	○
P.2.4	●	●	○
P.3.1	●	●	○
P.3.2	●	●	○
P.3.3	●	●	○
P.4.1	●	○	
P.4.2	●	○	
M.1.1	●	○	
M.2.1	●	○	
M.3.1	●	○	
K.1.1	●	●	●
K.1.2	●	●	●
K.2.1	●	●	●
K.2.2	●	●	●
K.3.1	●	●	●
K.3.2	●	●	●
N.1.1			
N.1.2			
N.2.1	●	●	
N.2.2	●	●	
N.2.3	●	●	
N.3.1	●	●	
N.3.2	●	●	
N.3.3	●	●	
N.4.1			
S.1.1	●		
S.1.2	●		
S.2.1	●		
S.2.2	●		
S.2.3	●		
S.3.1	●		
S.3.2	●		
S.3.3			
H.1.1			
H.1.2			
H.1.3			
H.1.4			
H.2.1			
H.3.1			
O.1.1			
O.1.2			
O.2.1			
O.2.2			
O.3.1			

Datos de corte – S-Cut UNI – Fresa frontal

Índice	Tipo extralarga		52 519 ...															
			Ø DC (mm) =															
			3			4			5			6			8			
			a_e 0,1–0,2 x DC	a_e 0,3–0,4 x DC	a_e 0,6–1,0 x DC	a_e 0,1–0,2 x DC	a_e 0,3–0,4 x DC	a_e 0,6–1,0 x DC	a_e 0,1–0,2 x DC	a_e 0,3–0,4 x DC	a_e 0,6–1,0 x DC	a_e 0,1–0,2 x DC	a_e 0,3–0,4 x DC	a_e 0,6–1,0 x DC	a_e 0,1–0,2 x DC	a_e 0,3–0,4 x DC	a_e 0,6–1,0 x DC
	v_c (m/min)	$a_{p\,max.}$ x DC	f_z (mm)															
P.1.1	150	1,0	0,022	0,018	0,013	0,030	0,025	0,018	0,040	0,033	0,023	0,052	0,043	0,030	0,061	0,051	0,036	
P.1.2	130	1,0	0,022	0,018	0,013	0,030	0,025	0,018	0,040	0,033	0,023	0,052	0,043	0,030	0,061	0,051	0,036	
P.1.3	125	1,0	0,022	0,018	0,013	0,030	0,025	0,018	0,040	0,033	0,023	0,052	0,043	0,030	0,061	0,051	0,036	
P.1.4	125	1,0	0,022	0,018	0,013	0,030	0,025	0,018	0,040	0,033	0,023	0,052	0,043	0,030	0,061	0,051	0,036	
P.1.5	120	1,0	0,022	0,018	0,013	0,030	0,025	0,018	0,040	0,033	0,023	0,052	0,043	0,030	0,061	0,051	0,036	
P.2.1	130	1,0	0,022	0,018	0,013	0,030	0,025	0,018	0,040	0,033	0,023	0,052	0,043	0,030	0,061	0,051	0,036	
P.2.2	125	1,0	0,014	0,012	0,008	0,022	0,018	0,013	0,031	0,026	0,018	0,042	0,035	0,025	0,053	0,044	0,031	
P.2.3	115	1,0	0,022	0,018	0,013	0,030	0,025	0,018	0,040	0,033	0,023	0,052	0,043	0,030	0,061	0,051	0,036	
P.2.4	110	1,0	0,014	0,012	0,008	0,022	0,018	0,013	0,031	0,026	0,018	0,042	0,035	0,025	0,053	0,044	0,031	
P.3.1	130	1,0	0,022	0,018	0,013	0,030	0,025	0,018	0,040	0,033	0,023	0,052	0,043	0,030	0,061	0,051	0,036	
P.3.2	80	1,0	0,022	0,018	0,013	0,030	0,025	0,018	0,040	0,033	0,023	0,052	0,043	0,030	0,061	0,051	0,036	
P.3.3	85	1,0	0,022	0,018	0,013	0,030	0,025	0,018	0,040	0,033	0,023	0,052	0,043	0,030	0,061	0,051	0,036	
P.4.1	90	1,0	0,012	0,010	0,007	0,017	0,014	0,010	0,023	0,019	0,013	0,029	0,024	0,017	0,037	0,031	0,022	
P.4.2	85	1,0	0,012	0,010	0,007	0,017	0,014	0,010	0,023	0,019	0,013	0,029	0,024	0,017	0,037	0,031	0,022	
M.1.1	80	1,0	0,012	0,010	0,007	0,017	0,014	0,010	0,023	0,019	0,013	0,029	0,024	0,017	0,037	0,031	0,022	
M.2.1	75	1,0	0,012	0,010	0,007	0,017	0,014	0,010	0,023	0,019	0,013	0,029	0,024	0,017	0,037	0,031	0,022	
M.3.1	70	1,0	0,012	0,010	0,007	0,017	0,014	0,010	0,023	0,019	0,013	0,029	0,024	0,017	0,037	0,031	0,022	
K.1.1	140	1,0	0,032	0,027	0,019	0,038	0,032	0,022	0,054	0,045	0,032	0,068	0,057	0,040	0,084	0,070	0,049	
K.1.2	130	1,0	0,032	0,027	0,019	0,038	0,032	0,022	0,054	0,045	0,032	0,068	0,057	0,040	0,084	0,070	0,049	
K.2.1	140	1,0	0,025	0,021	0,015	0,030	0,025	0,018	0,040	0,033	0,023	0,052	0,043	0,030	0,061	0,051	0,036	
K.2.2	130	1,0	0,025	0,021	0,015	0,030	0,025	0,018	0,040	0,033	0,023	0,052	0,043	0,030	0,061	0,051	0,036	
K.3.1	135	1,0	0,025	0,021	0,015	0,030	0,025	0,018	0,040	0,033	0,023	0,052	0,043	0,030	0,061	0,051	0,036	
K.3.2	125	1,0	0,025	0,021	0,015	0,030	0,025	0,018	0,040	0,033	0,023	0,052	0,043	0,030	0,061	0,051	0,036	
N.1.1																		
N.1.2																		
N.2.1	350	1,0	0,035	0,029	0,020	0,042	0,035	0,025	0,058	0,048	0,034	0,072	0,060	0,042	0,088	0,073	0,051	
N.2.2	340	1,0	0,034	0,028	0,020	0,041	0,034	0,024	0,056	0,047	0,033	0,071	0,059	0,041	0,086	0,072	0,050	
N.2.3	300	1,0	0,034	0,028	0,020	0,041	0,034	0,024	0,056	0,047	0,033	0,071	0,059	0,041	0,086	0,072	0,050	
N.3.1	230	1,0	0,031	0,026	0,018	0,038	0,032	0,022	0,054	0,045	0,032	0,068	0,057	0,040	0,084	0,070	0,049	
N.3.2	240	1,0	0,031	0,026	0,018	0,038	0,032	0,022	0,054	0,045	0,032	0,068	0,057	0,040	0,084	0,070	0,049	
N.3.3	190	1,0	0,031	0,026	0,018	0,038	0,032	0,022	0,054	0,045	0,032	0,068	0,057	0,040	0,084	0,070	0,049	
N.4.1																		
S.1.1	25	1,0	0,008	0,007	0,005	0,011	0,009	0,006	0,016	0,013	0,009	0,020	0,017	0,012	0,025	0,021	0,015	
S.1.2	25	1,0	0,008	0,007	0,005	0,011	0,009	0,006	0,016	0,013	0,009	0,020	0,017	0,012	0,025	0,021	0,015	
S.2.1	25	1,0	0,008	0,007	0,005	0,011	0,009	0,006	0,016	0,013	0,009	0,020	0,017	0,012	0,025	0,021	0,015	
S.2.2	25	1,0	0,008	0,007	0,005	0,011	0,009	0,006	0,016	0,013	0,009	0,020	0,017	0,012	0,025	0,021	0,015	
S.2.3	25	1,0	0,008	0,007	0,005	0,011	0,009	0,006	0,016	0,013	0,009	0,020	0,017	0,012	0,025	0,021	0,015	
S.3.1	75	1,0	0,002	0,002	0,001	0,023	0,019	0,013	0,032	0,027	0,019	0,043	0,036	0,025	0,054	0,045	0,032	
S.3.2	45	1,0	0,011	0,009	0,006	0,013	0,011	0,008	0,019	0,016	0,011	0,026	0,022	0,015	0,032	0,027	0,019	
S.3.3																		
H.1.1																		
H.1.2																		
H.1.3																		
H.1.4																		
H.2.1																		
H.3.1																		
O.1.1																		
O.1.2																		
O.2.1																		
O.2.2																		
O.3.1																		

Ángulo máximo para entrada en rampa y fresado helicoidal:

Ø 3 =	1°	Ø 10 =	4°
Ø 4 =	1°	Ø 12 =	6°
Ø 5 =	1,5°	Ø 14 =	6°
Ø 6 =	2°	Ø 16 =	8°
Ø 8 =	3°	Ø 20 =	10°

● Opción preferente
○ Apto

Índice	52 519 ... Ø DC (mm) = 10			12			14			16			20			Taladrina	Aire comprimido	Cantidad mínima de lubricación
	a_e 0,1–0,2 x DC	a_e 0,3–0,4 x DC	a_e 0,6–1,0 x DC	a_e 0,1–0,2 x DC	a_e 0,3–0,4 x DC	a_e 0,6–1,0 x DC	a_e 0,1–0,2 x DC	a_e 0,3–0,4 x DC	a_e 0,6–1,0 x DC	a_e 0,1–0,2 x DC	a_e 0,3–0,4 x DC	a_e 0,6–1,0 x DC	a_e 0,1–0,2 x DC	a_e 0,3–0,4 x DC	a_e 0,6–1,0 x DC			
	f_z (mm)																	
P.1.1	0,084	0,070	0,049	0,106	0,088	0,062	0,120	0,100	0,070	0,132	0,110	0,077	0,144	0,120	0,084	●	●	○
P.1.2	0,084	0,070	0,049	0,106	0,088	0,062	0,120	0,100	0,070	0,132	0,110	0,077	0,144	0,120	0,084	●	●	○
P.1.3	0,084	0,070	0,049	0,106	0,088	0,062	0,120	0,100	0,070	0,132	0,110	0,077	0,144	0,120	0,084	●	●	○
P.1.4	0,084	0,070	0,049	0,106	0,088	0,062	0,120	0,100	0,070	0,132	0,110	0,077	0,144	0,120	0,084	●	●	○
P.1.5	0,084	0,070	0,049	0,106	0,088	0,062	0,120	0,100	0,070	0,132	0,110	0,077	0,144	0,120	0,084	●	●	○
P.2.1	0,084	0,070	0,049	0,106	0,088	0,062	0,120	0,100	0,070	0,013	0,011	0,008	0,144	0,120	0,084	●	●	○
P.2.2	0,072	0,060	0,042	0,091	0,076	0,053	0,102	0,085	0,060	0,108	0,090	0,063	0,120	0,100	0,070	●	●	○
P.2.3	0,084	0,070	0,049	0,106	0,088	0,062	0,120	0,100	0,070	0,132	0,110	0,077	0,144	0,120	0,084	●	●	○
P.2.4	0,072	0,060	0,042	0,091	0,076	0,053	0,102	0,085	0,060	0,108	0,090	0,063	0,120	0,100	0,070	●	●	○
P.3.1	0,084	0,070	0,049	0,106	0,088	0,062	0,120	0,100	0,070	0,132	0,110	0,077	0,144	0,120	0,084	●	●	○
P.3.2	0,084	0,070	0,049	0,106	0,088	0,062	0,120	0,100	0,070	0,132	0,110	0,077	0,144	0,120	0,084	●	●	○
P.3.3	0,084	0,070	0,049	0,106	0,088	0,062	0,012	0,010	0,007	0,013	0,011	0,008	0,144	0,120	0,084	●	●	○
P.4.1	0,048	0,040	0,028	0,062	0,052	0,036	0,072	0,060	0,042	0,086	0,072	0,050	0,100	0,083	0,058	●	○	
P.4.2	0,048	0,040	0,028	0,062	0,052	0,036	0,072	0,060	0,042	0,086	0,072	0,050	0,100	0,083	0,058	●	○	
M.1.1	0,048	0,040	0,028	0,062	0,052	0,036	0,072	0,060	0,042	0,086	0,072	0,050	0,100	0,083	0,058	●	○	
M.2.1	0,048	0,040	0,028	0,062	0,052	0,036	0,072	0,060	0,042	0,086	0,072	0,050	0,100	0,083	0,058	●	○	
M.3.1	0,048	0,040	0,028	0,062	0,052	0,036	0,072	0,060	0,042	0,086	0,072	0,050	0,100	0,083	0,058	●	○	
K.1.1	0,114	0,095	0,067	0,144	0,120	0,084	0,168	0,140	0,098	0,192	0,160	0,112	0,204	0,170	0,119	●	●	●
K.1.2	0,114	0,095	0,067	0,144	0,120	0,084	0,168	0,140	0,098	0,192	0,160	0,112	0,204	0,170	0,119	●	●	●
K.2.1	0,084	0,070	0,049	0,104	0,087	0,061	0,120	0,100	0,070	0,144	0,120	0,084	0,156	0,130	0,091	●	●	●
K.2.2	0,084	0,070	0,049	0,104	0,087	0,061	0,120	0,100	0,070	0,144	0,120	0,084	0,156	0,130	0,091	●	●	●
K.3.1	0,084	0,070	0,049	0,104	0,087	0,061	0,120	0,100	0,070	0,144	0,120	0,084	0,156	0,130	0,091	●	●	●
K.3.2	0,084	0,070	0,049	0,104	0,087	0,061	0,120	0,100	0,070	0,144	0,120	0,084	0,156	0,130	0,091	●	●	●
N.1.1																		
N.1.2																		
N.2.1	0,116	0,097	0,068	0,158	0,132	0,092	0,174	0,145	0,102	0,204	0,170	0,119	0,216	0,180	0,126	●	●	
N.2.2	0,115	0,096	0,067	0,152	0,127	0,089	0,168	0,140	0,098	0,198	0,165	0,116	0,210	0,175	0,123	●	●	
N.2.3	0,115	0,096	0,067	0,152	0,127	0,089	0,017	0,014	0,010	0,198	0,165	0,116	0,210	0,175	0,123	●	●	
N.3.1	0,114	0,095	0,067	0,140	0,117	0,082	0,162	0,135	0,095	0,192	0,160	0,112	0,204	0,170	0,119	●	●	
N.3.2	0,114	0,095	0,067	0,140	0,117	0,082	0,162	0,135	0,095	0,192	0,160	0,112	0,204	0,170	0,119	●	●	
N.3.3	0,114	0,095	0,067	0,140	0,117	0,082	0,162	0,135	0,095	0,192	0,160	0,112	0,204	0,170	0,119	●	●	
N.4.1																		
S.1.1	0,035	0,029	0,020	0,044	0,037	0,026	0,054	0,045	0,032	0,064	0,053	0,037	0,068	0,057	0,040	●		
S.1.2	0,035	0,029	0,020	0,044	0,037	0,026	0,054	0,045	0,032	0,064	0,053	0,037	0,068	0,057	0,040	●		
S.2.1	0,035	0,029	0,020	0,044	0,037	0,026	0,054	0,045	0,032	0,064	0,053	0,037	0,068	0,057	0,040	●		
S.2.2	0,035	0,029	0,020	0,044	0,037	0,026	0,054	0,045	0,032	0,064	0,053	0,037	0,068	0,057	0,040	●		
S.2.3	0,035	0,029	0,020	0,044	0,037	0,026	0,054	0,045	0,032	0,064	0,053	0,037	0,068	0,057	0,040	●		
S.3.1	0,073	0,061	0,043	0,092	0,077	0,054	0,110	0,092	0,064	0,120	0,100	0,070	0,134	0,112	0,078	●		
S.3.2	0,047	0,039	0,027	0,060	0,050	0,035	0,072	0,060	0,042	0,086	0,072	0,050	0,091	0,076	0,053	●		
S.3.3																		
H.1.1																		
H.1.2																		
H.1.3																		
H.1.4																		
H.2.1																		
H.3.1																		
O.1.1																		
O.1.2																		
O.2.1																		
O.2.2																		
O.3.1																		

Datos de corte – S-Cut UNI – Fresa frontal – Mecanizado trocoical

Índice	Tipo larga		52 521 ...															
			Ø DC (mm) =															
			6				8				10				12			
	v_c (m/min)	Máx. ángulo de contacto	a_e 0,05 x DC	a_e 0,1 x DC	a_e 0,15 x DC	h_m	a_e 0,05 x DC	a_e 0,1 x DC	a_e 0,15 x DC	h_m	a_e 0,05 x DC	a_e 0,1 x DC	a_e 0,15 x DC	h_m	a_e 0,05 x DC	a_e 0,1 x DC	a_e 0,15 x DC	h_m
			f_z (mm)				f_z (mm)				f_z (mm)				f_z (mm)			
P.1.1	300	45°	0,11	0,09	0,07	0,028	0,14	0,11	0,08	0,035	0,16	0,13	0,10	0,041	0,19	0,15	0,11	0,047
P.1.2	300	45°	0,09	0,07	0,05	0,022	0,11	0,09	0,07	0,028	0,14	0,11	0,08	0,035	0,16	0,13	0,10	0,041
P.1.3	290	45°	0,09	0,07	0,05	0,022	0,11	0,09	0,07	0,028	0,14	0,11	0,08	0,035	0,16	0,13	0,10	0,041
P.1.4	280	45°	0,09	0,07	0,05	0,022	0,11	0,09	0,07	0,028	0,14	0,11	0,08	0,035	0,16	0,13	0,10	0,041
P.1.5	250	45°	0,09	0,07	0,05	0,022	0,11	0,09	0,07	0,028	0,14	0,11	0,08	0,035	0,16	0,13	0,10	0,041
P.2.1	280	45°	1,13	0,90	0,68	0,285	0,14	0,11	0,08	0,035	0,16	0,13	0,10	0,041	0,19	0,15	0,11	0,047
P.2.2	270	45°	1,13	0,90	0,68	0,285	0,14	0,11	0,08	0,035	0,16	0,13	0,10	0,041	0,19	0,15	0,11	0,047
P.2.3	240	45°	0,09	0,07	0,05	0,022	0,11	0,09	0,07	0,028	0,14	0,11	0,08	0,035	0,16	0,13	0,10	0,041
P.2.4	210	45°	0,09	0,07	0,05	0,022	0,11	0,09	0,07	0,028	0,14	0,11	0,08	0,035	0,16	0,13	0,10	0,041
P.3.1	230	45°	0,09	0,07	0,05	0,022	0,11	0,09	0,07	0,028	0,14	0,11	0,08	0,035	0,16	0,13	0,10	0,041
P.3.2	210	40°	0,09	0,07	0,05	0,022	0,11	0,09	0,07	0,028	0,14	0,11	0,08	0,035	0,16	0,13	0,10	0,041
P.3.3	190	40°	0,09	0,07	0,05	0,022	0,11	0,09	0,07	0,028	0,14	0,11	0,08	0,035	0,16	0,13	0,10	0,041
P.4.1	180	40°	0,08	0,06	0,05	0,019	0,09	0,07	0,05	0,022	0,11	0,09	0,07	0,028	0,13	0,10	0,08	0,032
P.4.2	170	40°	0,08	0,06	0,05	0,019	0,09	0,07	0,05	0,022	0,11	0,09	0,07	0,028	0,13	0,10	0,08	0,032
M.1.1	160	40°	0,08	0,06	0,05	0,019	0,09	0,07	0,05	0,022	0,11	0,09	0,07	0,028	0,13	0,10	0,08	0,032
M.2.1	160	40°	0,08	0,06	0,05	0,019	0,09	0,07	0,05	0,022	0,11	0,09	0,07	0,028	0,13	0,10	0,08	0,032
M.3.1	150	40°	0,08	0,06	0,05	0,019	0,09	0,07	0,05	0,022	0,11	0,09	0,07	0,028	0,13	0,10	0,08	0,032
K.1.1	300	50°	0,11	0,09	0,07	0,028	0,14	0,11	0,08	0,035	0,16	0,13	0,10	0,041	0,19	0,15	0,11	0,047
K.1.2	300	50°	0,11	0,09	0,07	0,028	0,14	0,11	0,08	0,035	0,16	0,13	0,10	0,041	0,19	0,15	0,11	0,047
K.2.1	300	50°	0,11	0,09	0,07	0,028	0,14	0,11	0,08	0,035	0,16	0,13	0,10	0,041	0,19	0,15	0,11	0,047
K.2.2	270	50°	0,09	0,07	0,05	0,022	0,11	0,09	0,07	0,028	0,14	0,11	0,08	0,035	0,16	0,13	0,10	0,041
K.3.1	260	50°	0,09	0,07	0,05	0,022	0,11	0,09	0,07	0,028	0,14	0,11	0,08	0,035	0,16	0,13	0,10	0,041
K.3.2	200	50°	0,09	0,07	0,05	0,022	0,11	0,09	0,07	0,028	0,14	0,11	0,08	0,035	0,16	0,13	0,10	0,041
N.1.1																		
N.1.2																		
N.2.1	420	55°	0,13	0,10	0,08	0,032	0,14	0,11	0,08	0,035	0,15	0,12	0,09	0,038	0,18	0,14	0,11	0,044
N.2.2	320	55°	0,13	0,10	0,08	0,032	0,14	0,11	0,08	0,035	0,15	0,12	0,09	0,038	0,18	0,14	0,11	0,044
N.2.3	250	55°	0,11	0,09	0,07	0,028	0,13	0,10	0,08	0,032	0,14	0,11	0,08	0,035	0,16	0,13	0,10	0,041
N.3.1	300	50°	0,10	0,08	0,06	0,025	0,11	0,09	0,07	0,028	0,13	0,10	0,08	0,032	0,15	0,12	0,09	0,038
N.3.2	190	50°	0,10	0,08	0,06	0,025	0,11	0,09	0,07	0,028	0,13	0,10	0,08	0,032	0,15	0,12	0,09	0,038
N.3.3	270	50°	0,09	0,07	0,05	0,022	0,10	0,08	0,06	0,025	0,11	0,09	0,07	0,028	0,14	0,11	0,08	0,035
N.4.1																		
S.1.1	90	35°	0,04	0,03	0,02	0,009	0,05	0,04	0,03	0,013	0,06	0,05	0,04	0,016	0,08	0,06	0,05	0,019
S.1.2	90	35°	0,04	0,03	0,02	0,009	0,05	0,04	0,03	0,013	0,06	0,05	0,04	0,016	0,08	0,06	0,05	0,019
S.2.1	70	35°	0,04	0,03	0,02	0,009	0,05	0,04	0,03	0,013	0,06	0,05	0,04	0,016	0,08	0,06	0,05	0,019
S.2.2	70	35°	0,04	0,03	0,02	0,009	0,05	0,04	0,03	0,013	0,06	0,05	0,04	0,016	0,08	0,06	0,05	0,019
S.2.3																		
S.3.1	135	35°	0,04	0,04	0,03	0,011	0,08	0,06	0,05	0,019	0,09	0,07	0,05	0,022	0,11	0,09	0,07	0,028
S.3.2	105	35°	0,05	0,04	0,03	0,013	0,08	0,06	0,05	0,019	0,09	0,07	0,05	0,022	0,11	0,09	0,07	0,028
S.3.3																		
H.1.1																		
H.1.2																		
H.1.3																		
H.1.4																		
H.2.1																		
H.3.1																		
O.1.1																		
O.1.2																		
O.2.1																		
O.2.2																		
O.3.1																		

Profundidades de corte correspondientes a los largos de corte

Índice	52 521 ... Ø DC (mm) = 14				16				18				20				● Opción preferente ○ Apto		
	a_e 0,05 x DC	a_e 0,1 x DC	a_e 0,15 x DC	h_m	a_e 0,05 x DC	a_e 0,1 x DC	a_e 0,15 x DC	h_m	a_e 0,05 x DC	a_e 0,1 x DC	a_e 0,15 x DC	h_m	a_e 0,05 x DC	a_e 0,1 x DC	a_e 0,15 x DC	h_m	Taladrina	Aire comprimido	Cantidad mínima de lubricación
	f_z (mm)				f_z (mm)				f_z (mm)				f_z (mm)						
P.1.1	0,21	0,17	0,13	0,054	0,23	0,18	0,14	0,057	0,24	0,19	0,14	0,060	0,25	0,20	0,15	0,063	○	●	○
P.1.2	0,19	0,15	0,11	0,047	0,21	0,17	0,13	0,054	0,21	0,17	0,13	0,054	0,24	0,19	0,14	0,060	○	●	○
P.1.3	0,19	0,15	0,11	0,047	0,21	0,17	0,13	0,054	0,21	0,17	0,13	0,054	0,24	0,19	0,14	0,060	○	●	○
P.1.4	0,19	0,15	0,11	0,047	0,21	0,17	0,13	0,054	0,21	0,17	0,13	0,054	0,24	0,19	0,14	0,060	○	●	○
P.1.5	0,19	0,15	0,11	0,047	0,21	0,17	0,13	0,054	0,21	0,17	0,13	0,054	0,24	0,19	0,14	0,060	○	●	○
P.2.1	0,21	0,17	0,13	0,054	0,23	0,18	0,14	0,057	0,24	0,19	0,14	0,060	0,25	0,20	0,15	0,063	○	●	○
P.2.2	0,21	0,17	0,13	0,054	0,23	0,18	0,14	0,057	0,24	0,19	0,14	0,060	0,25	0,20	0,15	0,063	○	●	○
P.2.3	0,19	0,15	0,11	0,047	0,21	0,17	0,13	0,054	0,21	0,17	0,13	0,054	0,24	0,19	0,14	0,060	○	●	○
P.2.4	0,19	0,15	0,11	0,047	0,21	0,17	0,13	0,054	0,21	0,17	0,13	0,054	0,24	0,19	0,14	0,060	○	●	○
P.3.1	0,19	0,15	0,11	0,047	0,21	0,17	0,13	0,054	0,21	0,17	0,13	0,054	0,24	0,19	0,14	0,060	○	●	○
P.3.2	0,19	0,15	0,11	0,047	0,21	0,17	0,13	0,054	0,21	0,17	0,13	0,054	0,24	0,19	0,14	0,060	○	●	○
P.3.3	0,19	0,15	0,11	0,047	0,21	0,17	0,13	0,054	0,21	0,17	0,13	0,054	0,24	0,19	0,14	0,060	○	●	○
P.4.1	0,15	0,12	0,09	0,038	0,15	0,12	0,09	0,038	0,16	0,13	0,10	0,041	0,18	0,14	0,11	0,044	●		
P.4.2	0,15	0,12	0,09	0,038	0,15	0,12	0,09	0,038	0,16	0,13	0,10	0,041	0,18	0,14	0,11	0,044	●		
M.1.1	0,15	0,12	0,09	0,038	0,15	0,12	0,09	0,038	0,16	0,13	0,10	0,041	0,18	0,14	0,11	0,044	●		
M.2.1	0,15	0,12	0,09	0,038	0,15	0,12	0,09	0,038	0,16	0,13	0,10	0,041	0,18	0,14	0,11	0,044	●		
M.3.1	0,15	0,12	0,09	0,038	0,15	0,12	0,09	0,038	0,16	0,13	0,10	0,041	0,18	0,14	0,11	0,044	●		
K.1.1	0,21	0,17	0,13	0,054	0,23	0,18	0,14	0,057	0,24	0,19	0,14	0,060	0,25	0,20	0,15	0,063	○	●	○
K.1.2	0,21	0,17	0,13	0,054	0,23	0,18	0,14	0,057	0,24	0,19	0,14	0,060	0,25	0,20	0,15	0,063	○	●	○
K.2.1	0,21	0,17	0,13	0,054	0,23	0,18	0,14	0,057	0,24	0,19	0,14	0,060	0,25	0,20	0,15	0,063	○	●	○
K.2.2	0,19	0,15	0,11	0,047	0,21	0,17	0,13	0,054	0,23	0,18	0,14	0,057	0,24	0,19	0,14	0,060	○	●	○
K.3.1	0,19	0,15	0,11	0,047	0,21	0,17	0,13	0,054	0,23	0,18	0,14	0,057	0,24	0,19	0,14	0,060	○	●	○
K.3.2	0,19	0,15	0,11	0,047	0,21	0,17	0,13	0,054	0,23	0,18	0,14	0,057	0,24	0,19	0,14	0,060	○	●	○
N.1.1																			
N.1.2																			
N.2.1	0,20	0,16	0,12	0,051	0,23	0,18	0,14	0,057	0,25	0,20	0,15	0,063	0,28	0,22	0,17	0,070	●	●	
N.2.2	0,20	0,16	0,12	0,051	0,23	0,18	0,14	0,057	0,25	0,20	0,15	0,063	0,28	0,22	0,17	0,070	●	●	
N.2.3	0,19	0,15	0,11	0,047	0,21	0,17	0,13	0,054	0,24	0,19	0,14	0,060	0,26	0,21	0,16	0,066	●	●	
N.3.1	0,18	0,14	0,11	0,044	0,20	0,16	0,12	0,051	0,23	0,18	0,14	0,057	0,25	0,20	0,15	0,063	●	●	
N.3.2	0,18	0,14	0,11	0,044	0,20	0,16	0,12	0,051	0,23	0,18	0,14	0,057	0,25	0,20	0,15	0,063	●	●	
N.3.3	0,16	0,13	0,10	0,041	0,19	0,15	0,11	0,047	0,21	0,17	0,13	0,054	0,24	0,19	0,14	0,060	●	●	
N.4.1																			
S.1.1	0,10	0,08	0,06	0,025	0,11	0,09	0,07	0,028	0,13	0,10	0,08	0,032	0,14	0,11	0,08	0,035	●		
S.1.2	0,10	0,08	0,06	0,025	0,11	0,09	0,07	0,028	0,13	0,10	0,08	0,032	0,14	0,11	0,08	0,035	●		
S.2.1	0,10	0,08	0,06	0,025	0,11	0,09	0,07	0,028	0,13	0,10	0,08	0,032	0,14	0,11	0,08	0,035	●		
S.2.2	0,10	0,08	0,06	0,025	0,11	0,09	0,07	0,028	0,13	0,10	0,08	0,032	0,14	0,11	0,08	0,035	●		
S.2.3																			
S.3.1	0,13	0,10	0,08	0,032	0,14	0,11	0,08	0,035	0,15	0,12	0,09	0,038	0,15	0,12	0,09	0,038	●		
S.3.2	0,13	0,10	0,08	0,032	0,14	0,11	0,08	0,035	0,15	0,12	0,09	0,038	0,15	0,12	0,09	0,038	●		
S.3.3																			
H.1.1																			
H.1.2																			
H.1.3																			
H.1.4																			
H.2.1																			
H.3.1																			
O.1.1																			
O.1.2																			
O.2.1																			
O.2.2																			
O.3.1																			

Datos de corte – S-Cut UNImax – Fresa frontal

Índice	Tipo larga		52 522 ..., 52 523 ...															
			Ø DC (mm) =															
			3		4		5		6		8		10		12		14	
			a_e 0,3–0,4 x DC	a_e 0,6–1,0 x DC	a_e 0,3–0,4 x DC	a_e 0,6–1,0 x DC	a_e 0,3–0,4 x DC	a_e 0,6–1,0 x DC	a_e 0,3–0,4 x DC	a_e 0,6–1,0 x DC	a_e 0,3–0,4 x DC	a_e 0,6–1,0 x DC	a_e 0,3–0,4 x DC	a_e 0,6–1,0 x DC	a_e 0,3–0,4 x DC	a_e 0,6–1,0 x DC	a_e 0,3–0,4 x DC	a_e 0,6–1,0 x DC
	v_c (m/min)	$a_{p\,max.}$ x DC	f_z (mm)															
P.1.1	210	2.0	0.026	0.019	0.034	0.024	0.042	0.030	0.049	0.035	0.066	0.047	0.081	0.058	0.098	0.070	0.113	0.081
P.1.2	200	2.0	0.026	0.019	0.034	0.024	0.042	0.030	0.049	0.035	0.066	0.047	0.081	0.058	0.098	0.070	0.113	0.081
P.1.3	200	2.0	0.026	0.019	0.034	0.024	0.042	0.030	0.049	0.035	0.066	0.047	0.081	0.058	0.098	0.070	0.113	0.081
P.1.4	190	2.0	0.026	0.019	0.034	0.024	0.042	0.030	0.049	0.035	0.066	0.047	0.081	0.058	0.098	0.070	0.113	0.081
P.1.5	190	2.0	0.026	0.019	0.034	0.024	0.042	0.030	0.049	0.035	0.066	0.047	0.081	0.058	0.098	0.070	0.113	0.081
P.2.1	200	2.0	0.026	0.019	0.034	0.024	0.042	0.030	0.049	0.035	0.066	0.047	0.081	0.058	0.098	0.070	0.113	0.081
P.2.2	190	2.0	0.020	0.014	0.027	0.019	0.034	0.025	0.042	0.030	0.056	0.040	0.070	0.050	0.084	0.060	0.098	0.070
P.2.3	180	2.0	0.026	0.019	0.034	0.024	0.042	0.030	0.049	0.035	0.066	0.047	0.081	0.058	0.098	0.070	0.113	0.081
P.2.4	170	2.0	0.020	0.014	0.027	0.019	0.034	0.025	0.042	0.030	0.056	0.040	0.070	0.050	0.084	0.060	0.098	0.070
P.3.1	180	2.0	0.026	0.019	0.034	0.024	0.042	0.030	0.049	0.035	0.066	0.047	0.081	0.058	0.098	0.070	0.113	0.081
P.3.2	170	2.0	0.026	0.019	0.034	0.024	0.042	0.030	0.049	0.035	0.066	0.047	0.081	0.058	0.098	0.070	0.113	0.081
P.3.3	140	2.0	0.026	0.019	0.034	0.024	0.042	0.030	0.049	0.035	0.066	0.047	0.081	0.058	0.098	0.070	0.113	0.081
P.4.1	95	1.5	0.012	0.009	0.017	0.012	0.022	0.016	0.027	0.019	0.036	0.026	0.046	0.033	0.056	0.040	0.066	0.047
P.4.2	85	1.5	0.012	0.009	0.017	0.012	0.022	0.016	0.027	0.019	0.036	0.026	0.046	0.033	0.056	0.040	0.066	0.047
M.1.1	95	1.5	0.012	0.009	0.017	0.012	0.022	0.016	0.027	0.019	0.036	0.026	0.046	0.033	0.056	0.040	0.066	0.047
M.2.1	95	1.5	0.012	0.009	0.017	0.012	0.022	0.016	0.027	0.019	0.036	0.026	0.046	0.033	0.056	0.040	0.066	0.047
M.3.1	95	1.5	0.012	0.009	0.017	0.012	0.022	0.016	0.027	0.019	0.036	0.026	0.046	0.033	0.056	0.040	0.066	0.047
K.1.1	200	2.0	0.031	0.022	0.039	0.028	0.048	0.034	0.056	0.040	0.074	0.053	0.091	0.065	0.108	0.077	0.126	0.090
K.1.2	180	2.0	0.031	0.022	0.039	0.028	0.048	0.034	0.056	0.040	0.074	0.053	0.091	0.065	0.108	0.077	0.126	0.090
K.2.1	190	2.0	0.026	0.019	0.034	0.024	0.042	0.030	0.049	0.035	0.066	0.047	0.081	0.058	0.098	0.070	0.113	0.081
K.2.2	170	2.0	0.026	0.019	0.034	0.024	0.042	0.030	0.049	0.035	0.066	0.047	0.081	0.058	0.098	0.070	0.113	0.081
K.3.1	180	2.0	0.026	0.019	0.034	0.024	0.042	0.030	0.049	0.035	0.066	0.047	0.081	0.058	0.098	0.070	0.113	0.081
K.3.2	160	2.0	0.026	0.019	0.034	0.024	0.042	0.030	0.049	0.035	0.066	0.047	0.081	0.058	0.098	0.070	0.113	0.081
N.1.1																		
N.1.2																		
N.2.1																		
N.2.2																		
N.2.3																		
N.3.1	350	2.0	0.031	0.022	0.039	0.028	0.048	0.034	0.056	0.040	0.074	0.053	0.091	0.065	0.108	0.077	0.126	0.090
N.3.2	350	2.0	0.031	0.022	0.039	0.028	0.048	0.034	0.056	0.040	0.074	0.053	0.091	0.065	0.108	0.077	0.126	0.090
N.3.3	280	2.0	0.031	0.022	0.039	0.028	0.048	0.034	0.056	0.040	0.074	0.053	0.091	0.065	0.108	0.077	0.126	0.090
N.4.1																		
S.1.1																		
S.1.2																		
S.2.1																		
S.2.2																		
S.2.3																		
S.3.1																		
S.3.2																		
S.3.3																		
H.1.1																		
H.1.2																		
H.1.3																		
H.1.4																		
H.2.1																		
H.3.1																		
O.1.1																		
O.1.2																		
O.2.1																		
O.2.2																		
O.3.1																		

El contorneado con a_e < 0,3xDC solo es posible de manera limitada

Ángulo de entrada en rampa e interpolación helicoidal: 3°

Índice	52 522 ..., 52 523 ...						● Opción preferente ○ Apto		
	Ø DC (mm) =								
	16		18		20				
	a_e 0,3–0,4 x DC	a_e 0,6–1,0 x DC	a_e 0,3–0,4 x DC	a_e 0,6–1,0 x DC	a_e 0,3–0,4 x DC	a_e 0,6–1,0 x DC	Taladrina	Aire comprimido	Cantidad mínima de lubricación
	f_z (mm)								
P.1.1	0.121	0.087	0.129	0.092	0.137	0.098	●	○	○
P.1.2	0.121	0.087	0.129	0.092	0.137	0.098	●	○	○
P.1.3	0.121	0.087	0.129	0.092	0.137	0.098	●	○	○
P.1.4	0.121	0.087	0.129	0.092	0.137	0.098	●	○	○
P.1.5	0.121	0.087	0.129	0.092	0.137	0.098	●	○	○
P.2.1	0.121	0.087	0.129	0.092	0.137	0.098	●	○	○
P.2.2	0.105	0.075	0.112	0.080	0.119	0.085	●	○	○
P.2.3	0.121	0.087	0.129	0.092	0.137	0.098	●	○	○
P.2.4	0.105	0.075	0.112	0.080	0.119	0.085	●	○	○
P.3.1	0.121	0.087	0.129	0.092	0.137	0.098	●	○	○
P.3.2	0.121	0.087	0.129	0.092	0.137	0.098	●	○	○
P.3.3	0.121	0.087	0.129	0.092	0.137	0.098	●	○	○
P.4.1	0.071	0.051	0.076	0.054	0.081	0.058	●		
P.4.2	0.071	0.051	0.076	0.054	0.081	0.058	●		
M.1.1	0.071	0.051	0.076	0.054	0.081	0.058	●		
M.2.1	0.071	0.051	0.076	0.054	0.081	0.058	●		
M.3.1	0.071	0.051	0.076	0.054	0.081	0.058	●		
K.1.1	0.134	0.096	0.143	0.102	0.151	0.108	●	●	●
K.1.2	0.134	0.096	0.143	0.102	0.151	0.108	●	●	●
K.2.1	0.121	0.087	0.129	0.092	0.137	0.098	●	●	●
K.2.2	0.121	0.087	0.129	0.092	0.137	0.098	●	●	●
K.3.1	0.121	0.087	0.129	0.092	0.137	0.098	●	●	●
K.3.2	0.121	0.087	0.129	0.092	0.137	0.098	●	●	●
N.1.1									
N.1.2									
N.2.1									
N.2.2									
N.2.3									
N.3.1	0.134	0.096	0.143	0.102	0.151	0.108	●	○	○
N.3.2	0.134	0.096	0.143	0.102	0.151	0.108	●	○	○
N.3.3	0.134	0.096	0.143	0.102	0.151	0.108	●	○	○
N.4.1									
S.1.1									
S.1.2									
S.2.1									
S.2.2									
S.2.3									
S.3.1									
S.3.2									
S.3.3									
H.1.1									
H.1.2									
H.1.3									
H.1.4									
H.2.1									
H.3.1									
O.1.1									
O.1.2									
O.2.1									
O.2.2									
O.3.1									

CERATIZIT Ibérica Herramientas de Precisión S.L.U.
C/Forjadores 11 \ 28660 Boadilla del Monte (Madrid)
Tel.: +34 91 352 54 73
info.iberica@ceratizit.com \ www.ceratizit.com

CERATIZIT GROUP

Nos reservamos el derecho de introducir cambios técnicos y mejoras en los productos.

10/2024 – 99 034 00268